

Bentu Energy S.r.l.

Parco Eolico Bentu sito nel Comune di Thiesi

Relazione archeologica

Agosto 2022



**REGIONE AUTÒNOMA DE SARDIGNA
REGIONE AUTONOMA DELLA SARDEGNA**



Comune di Thiesi

Committente:

Bentu Energy srl

Bentu Energy srl

Via Sardegna, 40

00187 Roma

P.IVA/C.F. 15802451003

Titolo del Progetto:

Parco Eolico Bentu sito nel Comune di Thiesi

Documento:

Relazione archeologica

N° Documento:

IT-VesBen-CLP-SPE-TR-05

Progettista:

Dott. Arch. Fabrizio Delussu

Rev	Data Revisione	Descrizione	Redatto	Controllato	Approvato
00	28.08.2022				

Sommario

1. Premessa e finalità dello studio.....	4
2. Principali riferimenti normativi.....	4
3. Inquadramento cartografico.....	5
4. Descrizione delle opere in progetto.....	8
5. Verifica dei vincoli di tutela.....	9
5.1. Vincoli archeologici ministeriali.....	9
5.2. Vincoli di tutela ambientale, paesaggistica e storico-culturale.....	14
6. Fonti archivistiche.....	14
7. Fonti bibliografiche, cartografiche e sitografiche.....	15
8. Ricognizioni di superficie.....	19
8.1. Nota metodologica.....	19
8.2. Dati raccolti e Carta della visibilità di superficie.....	20
9. Valutazione del potenziale archeologico.....	52
9.1. Nota metodologica.....	52
9.2. Relazione conclusiva e Carta del potenziale archeologico.....	53
Figura 1. Inquadramento cartografico del parco eolico su CTR.....	6
Figura 2. Inquadramento cartografico del parco eolico, CTR su DTM.....	7
Figura 3. Localizzazione dei vincoli e dei beni archeologici su CTR.....	12
Figura 4. Localizzazione dei vincoli e dei beni archeologici, base CTR su DTM.....	13
Figura 5. Localizzazione dei vincoli, dei principali monumenti e siti archeologici noti, base CTR.....	18
Figura 6. Area della turbina AG01, Punto di Scatto 15, vista verso N.....	21
Figura 7. Area della turbina AG01, PS 23, vista verso SE.....	21
Figura 8. Area della turbina AG02, PS 32, vista verso NW.....	22
Figura 9. Area della turbina AG02, PS 38, vista verso NNE.....	22
Figura 10. Area della turbina AG03, PS 44, vista verso W.....	23
Figura 11. Area della turbina AG03, PS 47, vista verso E.....	23
Figura 12. Settore degli aerogeneratori AG01, AG02 e AG03; stralcio della Carta della visibilità archeologica.....	24
Figura 13. Area della turbina AG04, PS 54, vista verso S.....	25
Figura 14. Area della turbina AG04, PS 55, vista verso NE.....	25
Figura 15. Area della turbina AG04, stralcio della Carta della visibilità di superficie.....	26
Figura 16. Area della turbina AG05, PS 119, vista verso W.....	27
Figura 17. Area della turbina AG05, PS 115, vista verso ENE.....	27
Figura 18. Area della turbina AG05, stralcio della Carta della visibilità di superficie.....	28
Figura 19. Area della turbina AG06, PS 72, vista verso SE.....	29
Figura 20. Area della turbina AG06, PS 73, vista verso NW.....	29
Figura 21. Area della turbina AG07, PS181, vista verso SSE.....	30
Figura 22. Area della turbina AG07, PS187, vista verso NNW.....	30

Figura 23. Settore delle turbine AG06, AG07 e della SE Thiesi; stralcio della Carta della visibilità di superficie.	31
Figura 24. Area della turbina AG08, PS 143, vista verso NW.	32
Figura 25. Area della turbina AG08, PS 145, vista verso SSW.	32
Figura 26. Area della turbina AG08, stralcio della Carta della visibilità di superficie.	33
Figura 27. Area della SE di trasformazione Thiesi, PS 162, vista verso NNW.	34
Figura 28. Area della SE di trasformazione Thiesi, PS 164, vista verso SW.	34
Figura 29. Area della SE di trasformazione Ittiri, PS211, vista verso NE.	35
Figura 30. Area della SE di trasformazione Ittiri, PS213, vista verso SSW.	35
Figura 31. Area della Stazione di ampliamento, vista verso NE.	37
Figura 32. Area della Stazione di ampliamento, vista verso NE.	37
Figura 33. Area della SE Ittiri e della Stazione di ampliamento, stralcio della Carta della visibilità di superficie.	38
Figura 34. Area di cantiere, PS 40, vista verso SW.	39
Figura 35. Area di cantiere, PS 41, vista verso NE.	39
Figura 36. Tracciato del cavidotto 1, PS 12, vista verso WSW.	40
Figura 37. Tracciato del cavidotto 1, PS 13, vista verso SW.	40
Figura 38. Tracciato del cavidotto 3, PS 26, vista verso NW.	41
Figura 39. Tracciato del cavidotto 3, PS 28, vista verso N.	41
Figura 40. Tracciato del cavidotto 4, PS 42, vista verso W.	42
Figura 41. Tracciato del cavidotto 4, PS 43, vista verso W.	42
Figura 42. Tracciato del cavidotto 5, PS 49, vista verso NE.	43
Figura 43. Tracciato del cavidotto 5, PS 50, vista verso SW.	43
Figura 44. Tracciato del cavidotto 6, PS 93, vista verso NE.	44
Figura 45. Tracciato del cavidotto 6, PS 99, vista verso W.	44
Figura 46. Tracciato del cavidotto 7, PS 130, vista verso NW.	45
Figura 47. Tracciato del cavidotto 7, PS 103, vista verso NW.	45
Figura 48. Tracciato del cavidotto 8 a, PS 62, vista verso S.	46
Figura 49. Tracciato del cavidotto 8 a, PS 63, vista verso SE.	46
Figura 50. Tracciato del cavidotto 8 b, PS 65, vista verso SW.	47
Figura 51. Tracciato del cavidotto 8 b, PS 66, vista verso S.	47
Figura 52. Tracciato del cavidotto 10, PS 138, vista verso NE.	48
Figura 53. Tracciato del cavidotto 10, PS 139, vista verso SW.	48
Figura 54. Tracciato del cavidotto 12, PS9, vista verso W.	49
Figura 55. Tracciato del cavidotto 12, PS10, vista verso S.	49
Figura 56. Tracciato del cavidotto 13, PS 3, vista verso SW.	50
Figura 57. Tracciato del cavidotto 13, PS 6, vista verso S.	50
Figura 58. Tracciato del cavidotto 14, PS 2, vista verso NW.	51
Figura 59. Tracciato del cavidotto 14 presso la Stazione Terna, vista verso SE.	51
Figura 60. Settore degli aerogeneratori AG01, AG02 e AG03; stralcio della Carta del potenziale archeologico.	56
Figura 61. Area della turbina AG04, stralcio della Carta del potenziale archeologico.	57
Figura 62. Area della turbina AG05, stralcio della Carta del potenziale archeologico.	58
Figura 63. Settore delle turbine AG06, AG07 e della SE Thiesi; stralcio della Carta del potenziale archeologico.	59
Figura 64. Area della turbina AG08, stralcio della Carta del potenziale archeologico.	60
Figura 65. Area della SE Ittiri e della Stazione di ampliamento, stralcio della Carta del potenziale archeologico.	61

1. Premessa e finalità dello studio

La presente relazione è parte integrante del progetto definitivo per la realizzazione di un parco eolico, denominato Parco Eolico Bentu, ricadente nel Comune di Thiesi (SS).

La redazione del documento scaturisce dal D.Lgs. 50/2016 ss.mm., art. 25 e si propone la verifica dell'interesse archeologico nelle aree oggetto di progettazione.

La valutazione dell'impatto delle opere in progetto sulle emergenze archeologiche e/o sui contesti archeologici si effettua, secondo quanto analiticamente previsto dalla Direzione Generale Archeologia del MiBACT, Circolare n. 1 del 20.01.2016, allegato 3, attraverso i seguenti passaggi:

- Analisi delle fonti bibliografiche, cartografiche e sitografiche disponibili;
- Analisi delle fonti archivistiche disponibili;
- Verifica dei vincoli di tutela;
- Fotointerpretazioni;
- Ricognizioni di superficie e sopralluoghi.

Lo studio produce come risultato finale la "Carta del potenziale archeologico" che illustra il grado di potenziale archeologico dell'area interessata dal progetto e il grado di rischio per il progetto.

2. Principali riferimenti normativi

I principali riferimenti normativi presi in considerazione nel redigere il presente elaborato sono di seguito riportati.

- D.Lgs. 163/06 ss.mm., art. 95 (Verifica preventiva dell'interesse archeologico in sede di progetto preliminare) e art. 96 (Procedura di verifica preventiva dell'interesse archeologico), allegati XXI e XXII (Codice dei contratti pubblici relativi a lavori, servizi e forniture in attuazione delle direttive 2004/17/CE e 2004/18/CE);

- MiBACT, Direzione generale per le Antichità, Circolare n. 10 del 15.06.2012 e allegati 1-3 (Procedure di verifica preventiva dell'interesse archeologico ai sensi degli artt. 95 e 96 del D.Lgs. 163/06 e s.m.i. Indicazioni operative in merito alle attività di progettazione ed esecuzione delle indagini archeologiche);

- MiBACT, Direzione generale Archeologia, Circolare n. 1 del 20.01.2016 e allegati 1-4 (Disciplina del procedimento di cui all'articolo 28, comma 4, del Decreto Legislativo 22 gennaio 2004, n. 42, ed agli articoli 95 e 96 del Decreto Legislativo 14 aprile 2006, n. 163, per la verifica preventiva dell'interesse archeologico, sia in sede di progetto preliminare che in sede di progetto definitivo ed

esecutivo, delle aree prescelte per la localizzazione delle opere pubbliche o di interesse pubblico di cui all'annesso Allegato 1);

- D.Lgs. 18 aprile 2016 n. 50 (Codice dei contratti pubblici), art. 25 (Verifica preventiva dell'interesse archeologico).

3. Inquadramento cartografico

Il parco eolico in progetto è ubicato nel settore centro occidentale del territorio di Thiesi (Figg. 1-2). Le aree interessate dalle opere in progetto sono raggiungibili dalla Strada Statale N. 131 bis, dalla Strada provinciale N. 134 (aerogeneratori AG04-AG08) e dalla Strada Provinciale N. 28 bis (aerogeneratori AG01-AG03).

Cartografia di riferimento:

Carta Tecnica Regionale, scala 1: 10.000, Fogli 479080, 479040.

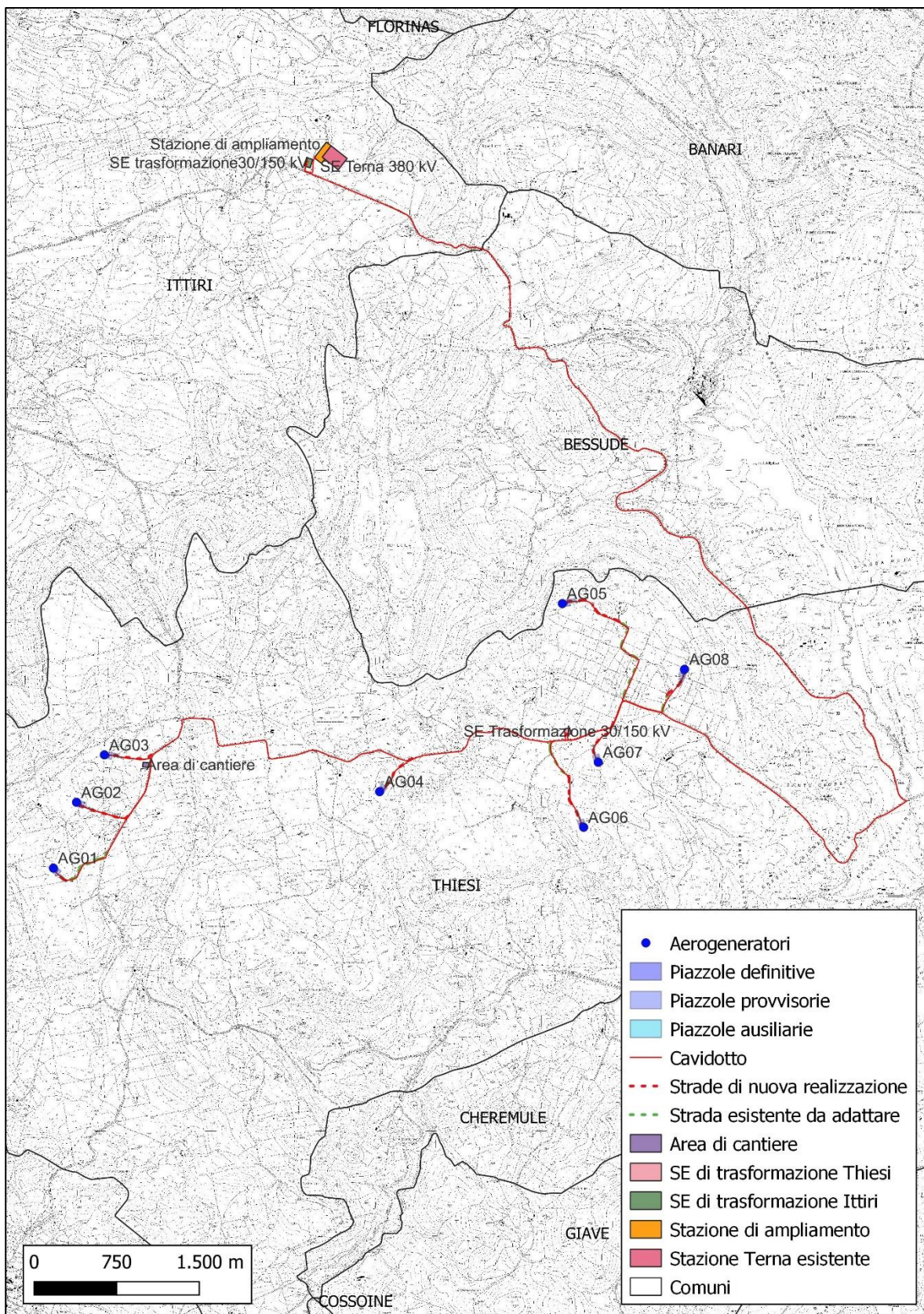


Figura 1. Inquadramento cartografico del parco eolico su CTR.

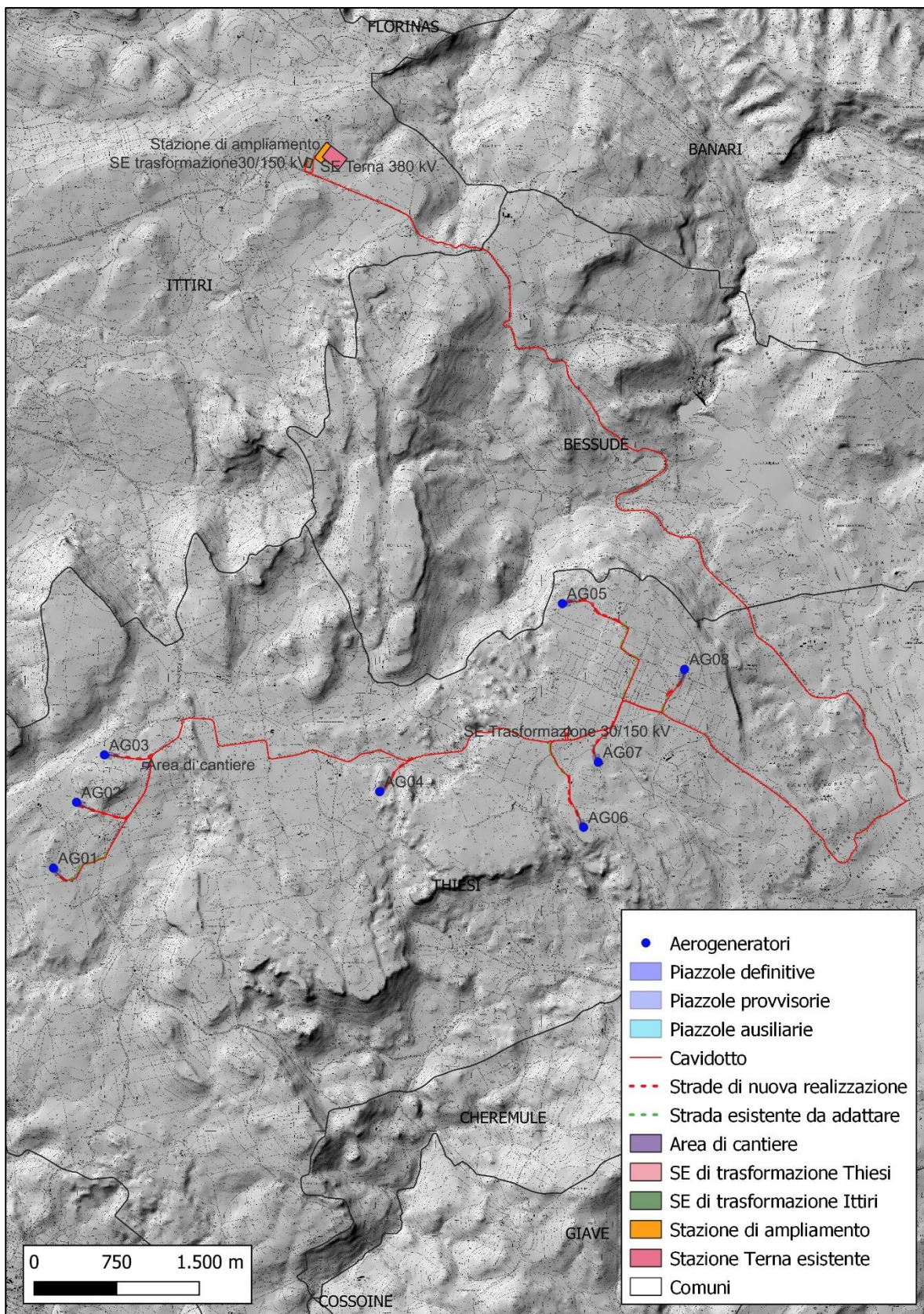


Figura 2. Inquadramento cartografico del parco eolico, CTR su DTM.

4. Descrizione delle opere in progetto

Il progetto prevede l'installazione di 8 aerogeneratori ad asse orizzontale con rotore tripala e una potenza di 6,0 MW, denominati in ordine crescente da AG01 a AG08.

Gli aerogeneratori presentano le seguenti caratteristiche e dimensioni:

- torri tubolari di acciaio con altezza fino al mozzo del rotore di 125 m;
- diametro delle pale di 162 m;
- altezza massima degli aerogeneratori pari a 206 m.

L'installazione degli aerogeneratori prevede opere di fondazione costituite da plinti circolari a sezione troncoconica, con altezza di 4 m e diametro massimo di 24 m, il cui piano di posa è previsto a 4 m circa dal piano finito delle piazzole.

Si prevede la costruzione di piazzole provvisorie (fase di montaggio), di piazzole permanenti (fase di esercizio) con dimensioni di 27 x 60 m e di piazzole ausiliarie (12 x 16 m).

Per quanto riguarda il cavidotto, si prevede la posa dei cavi all'interno di trincee profonde 1,20 m e larghe 0,50/1,10 m (cavi MT) e all'interno di trincee profonde 1,70 m circa e larghe 0,70 m (cavo a 150 KV di collegamento alla Stazione di trasformazione di Terna).

Le strade di accesso al parco sono state progettate nel rispetto, tra gli altri, dei seguenti criteri:

- ridurre al minimo lo sviluppo planimetrico dei nuovi tracciati;
- rispettare la larghezza minima della carreggiata stradale pari a 5 m;
- seguire i tracciati esistenti, minimizzando l'apertura di nuovi tratti di strada;
- ridurre al massimo gli sbancamenti e i riporti di terreno.

5. Verifica dei vincoli di tutela

5.1. Vincoli archeologici ministeriali

Nell'area del Parco Eolico Bentu non risultano vincoli ministeriali di tutela archeologica (L. 1089/1939, artt. 1-3, 21) o beni dichiarati di interesse culturale (Dichiarazione dell'interesse culturale ai sensi del D.Lgs. 42/2004, artt. 10, 12, 13).

Di seguito i vincoli archeologici e i beni presenti nella Carta del Rischio più vicini al parco eolico (buffer 10 km), georeferenziati su Carta Tecnica Regionale (Figg. 3-4).

Comune di Thiesi

- Ipogei eneolitici Mandra Antine, D.M. 27.04.1962; Carta del Rischio, Id 149808;
- Nuraghe Fonte 'e Mola, D.M. 28.06.1960; Carta del Rischio, Id 51819;
- Nuraghe Monte Pizzinnu, D.M. 09.10.1968; Carta del Rischio, Id 179312;
- Terreno e grotta naturale con resti di età preistorica; D.M. 30.12.1955; Carta del Rischio, Id 226353;
- Terreno e grotta naturale con resti di età preistorica; D.M. 30.12.1955; Carta del Rischio, Id 226470;
- Terreno e grotta naturale detta Laccheddu e Code, D.M. 30.12.1955; Carta del Rischio, Id 140784;
- Terreno e nuraghe detto di Sa Caddina di età tardo nuragica; D.M. 30.12.1955; Carta del Rischio, Id 74545;
- Tomba di giganti in loc. Campu e Riu, D.M. 18.02.1972; Carta del Rischio, Id 30401.

Comune di Ittiri

- Complesso archeologico di Musellos, D.M. 23.10.2018;
- Dolmen in località Runala, D.M. 29.05.1963; Carta del Rischio, Id 156683;
- Nuraghe Cherchizzu, D.M. 26.02.26; Carta del Rischio, Id 38709;
- Nuraghe Maggiore, D.M. 18.06.1982; Carta del Rischio, Id 35493;
- Tombe ipogeiche di Sa Figù, D.M. 22.04.1964; Carta del Rischio, Id 126918;
- Nuraghe Runara, Carta del Rischio, Id 129945.

Comune di Florinas

- Domus de janas su un grande blocco isolato, D.M. 23.10.1968; Carta del Rischio, Id 225472;

- Insediamento nuragico e romano [Punta Onossi], D.M. 16.10.1990; Carta del Rischio, Id 120697;
- Ipogeo preistorico di Sa Figu Niedda, D.M. 18.01.1977; Carta del Rischio, Id 23900;
- Nuraghe Corvos, D.M. 12.11.1968; Carta del Rischio, Id 35489;
- Nuraghe Sa Cojada Noa, D.M. 12.01.1980; Carta del Rischio, Id 94233;
- Tomba monolitica di Su Campu Lontanu, D.M. 15.11.1979; Carta del Rischio, Id 71451.

Comune di Bessude

- Nuraghe Su Monte, D.M. 20.02.1969, Carta del Rischio, Id 159425;
- Tomba dei pilastri scolpiti [Enas de Cannuia], D.M. 09.09.1963; Carta del Rischio, Id 107275.

Comune di Borutta

- Complesso archeologico di Grotta Sa Rocca Ulari e nuraghe, D.M. 12.02.1987; Carta del Rischio, Id 85492.
- Nuraghe San Pietro, Carta del Rischio, id 254557.

Comune di Bonnanaro

- Nuraghe Toncanis, D.M. 20.09.1982 , Carta del Rischio, id 48434.

Comune di Torralba

- Dolmen e tomba di giganti di Prunaiola, D.M. 11.08.1970; Carta del Rischio, Id 81563.

Comune di Cheremule

- Complesso nuragico di Baddicciu, D.M. 29.01.1979, Carta del Rischio, Id 186434;
- Domus de janas, D.M. 24.08.1966, Carta del Rischio, Id 81256;
- Necropoli preistorica di Furrighesos, D.M. 29.07. 1977, Carta del Rischio, Id 183642;
- Nuraghe Culzu, D.M. 09.10.1968; Carta del Rischio, Id 113640;
- Nuraghe Cunzadu, D.M. 11.11.1978, Carta del Rischio, Id 136490;
- Nuraghe Frenestasa, D.M. 09.10.1968; D.M. 12.11.1968; Carta del Rischio, Id 35488;
- Nuraghe in loc. Possilva, D.M. 20071989, Carta del Rischio, Id 107090;
- Nuraghe Maggiore, D.M. 12.09.1981; Carta del Rischio, Id 77758;
- Nuraghe Sunsa, D.M. 24.05.1980, Carta del Rischio, Id 218683;
- Grotta di Monte Majore, Carta del Rischio, Id 173732.

Comune di Giave

- Nuraghe Riu Ena, D.M. 22.10.1968, Carta del Rischio, Id 208627;
- Nuraghe Santu Sistu, D.M. 22.01.1965, Carta del Rischio, Id 156209;
- Nuraghe Saucchos, D.M. 15.11.1979, Carta del Rischio, Id 215317;

Comune di Romana

- Grotta Santu Giagu, D.M. 10.07.1979; D.M. 13.02.1987; Carta del Rischio, Id 167216.

Comune di Cossoine

- Domus de janas di Rio Molinu, D.M. 01.12.1965, Carta del Rischio, Id 25376;
- Fonte nuragica di Funtana Jana, D.M. 20.05.1964, Carta del Rischio, Id 52363;
- Nuraghe Accas, D.M. 23.11.1977; D.M. 16.05.2012, Carta del Rischio, Id 38711;
- Nuraghe Santa Maria de Iscalas, D.M. 16.12.1988, Carta del Rischio, Id 38712.

Comune di Mara

- Complesso nuragico di Nuraghe Noeddos, D.M. 30.11.1982, Carta del Rischio, Id 156208.
- Grotta Filiestru, D.M. 01.06.1982, Carta del Rischio, Id 226352;
- Grotta Sa Ucca 'e Su Tintirriolu, D.M. 15.11.1971, Carta del Rischio, Id 124492;
- Grotta Tuva 'e Mare, D.M. 09.01.1980, Carta del Rischio, Id 32159;
- Nuraghe S. Andrea, D.M. 20.07.1988, Carta del Rischio, Id 225276.

Comune di Monteleone Rocca Doria

- Cisterne di probabile età romana D.M. 03.06.1982, Carta del Rischio, Id 23619.

Comune di Villanova Monteleone

- Necropoli di Pubusattile, D.M. 29.07.2021;
- Necropoli di Puttu Codinu, D.M. 29.07.2021;
- Nuraghe Badde Chera, D.M. 23.06.2011;
- Nuraghe Marghine Cherchi, D.M. 29.10.1991, Carta del Rischio, id 97430.

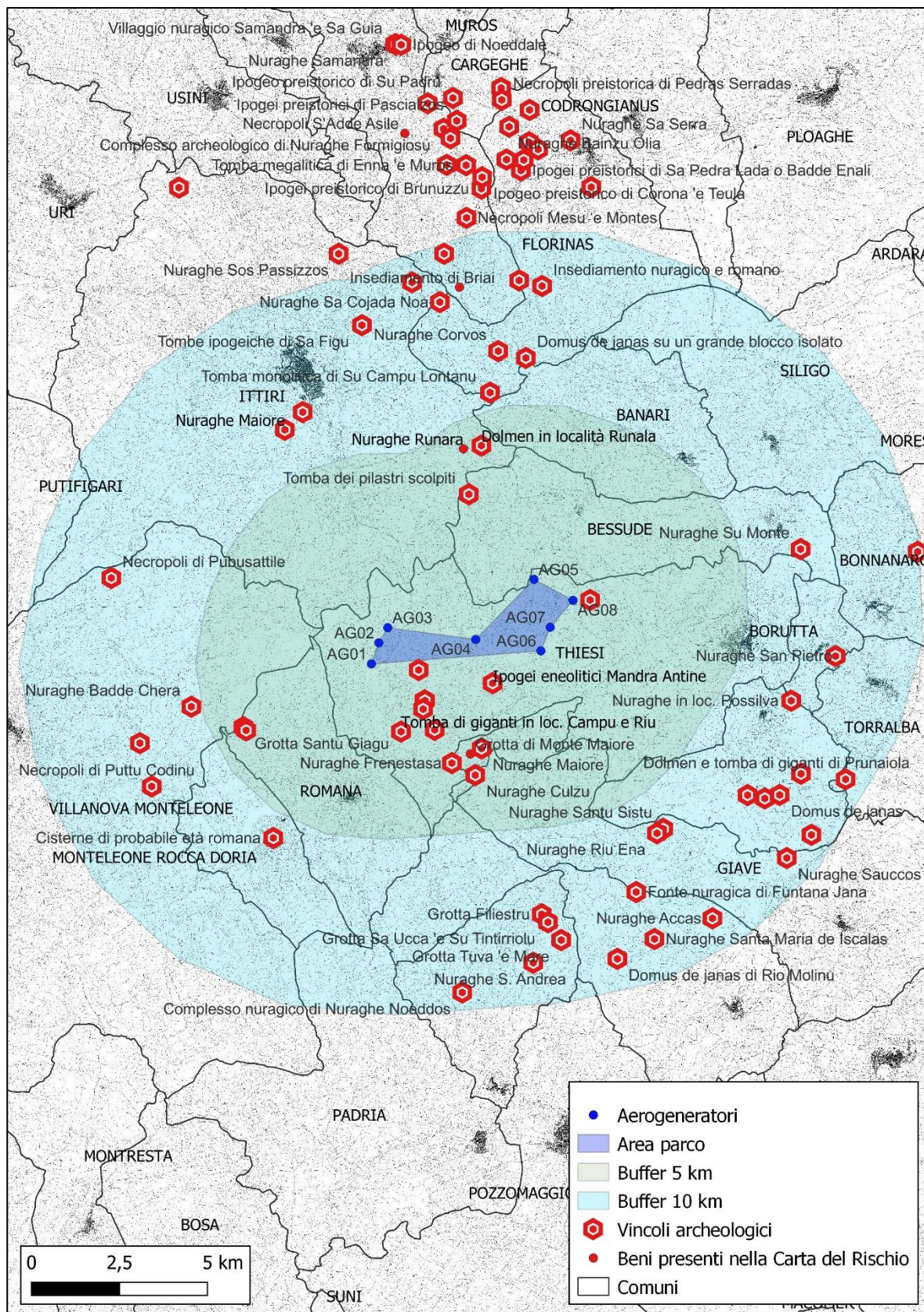


Figura 3. Localizzazione dei vincoli e dei beni archeologici su CTR.

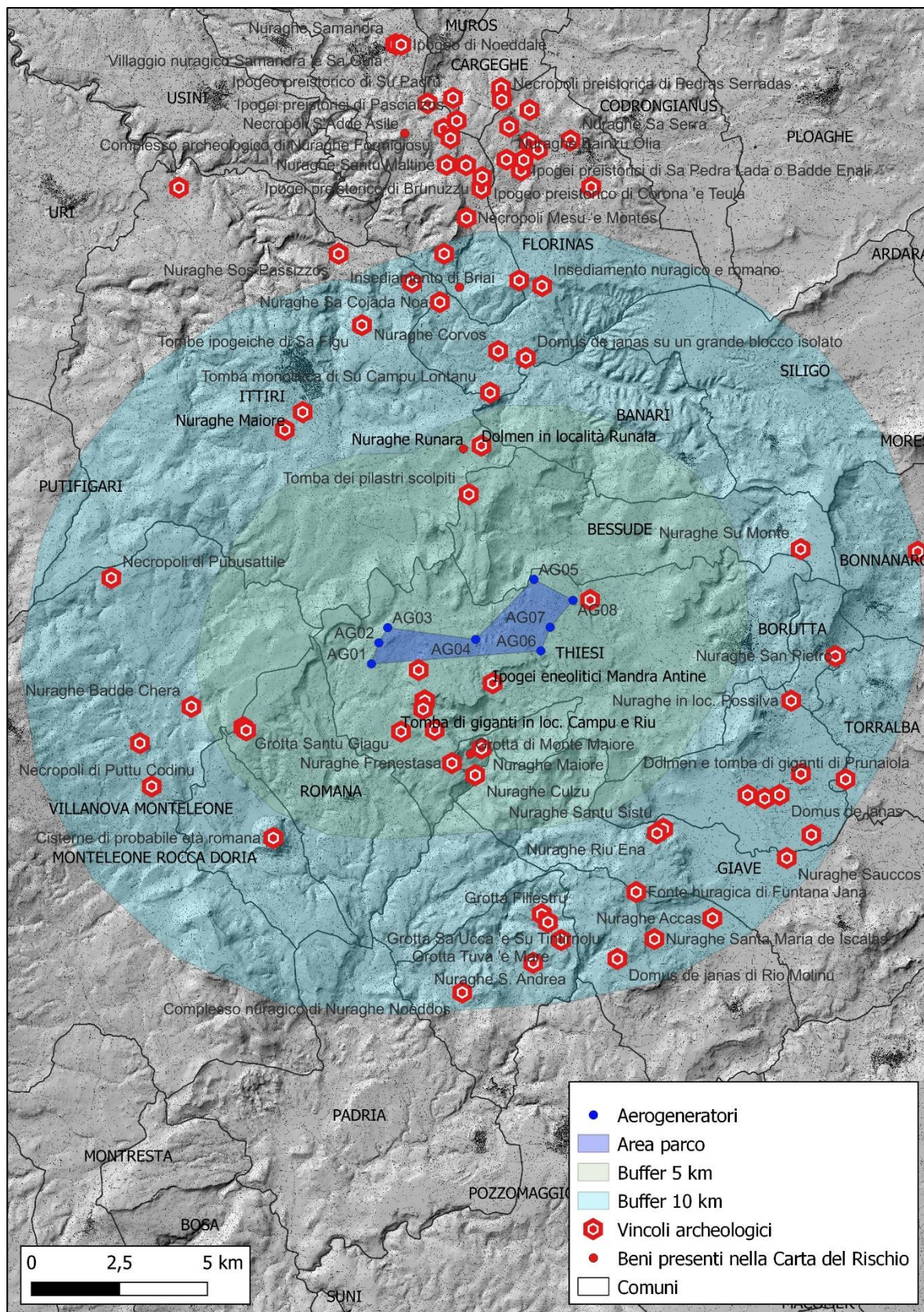


Figura 4. Localizzazione dei vincoli e dei beni archeologici, base CTR su DTM.

5.2. Vincoli di tutela ambientale, paesaggistica e storico-culturale

Non risultano perimetri di tutela paesaggistica e storico-culturale o previsioni vincolanti derivanti dagli strumenti di adeguamento al piano paesaggistico, ricadenti nell'area del parco eolico.

6. Fonti archivistiche

L'analisi dei documenti disponibili presso l'archivio della Soprintendenza Archeologia, belle arti e paesaggio per le province di Sassari e Nuoro è stata effettuata in data 01/06/2022.

Sono stati consultati i documenti contenuti all'interno di 5 faldoni, riferibili agli anni di raccolta dei dati compresi tra il 1994 e il 2007 e ai progetti Enel. I documenti relativi agli anni successivi al 2007 sono stati verificati attraverso l'archivio digitale. La ricerca è stata focalizzata sui toponimi delle aree interessate dal progetto: Sos Sealzos, Chessa Muri, Baddighedda, M. Unturzu, Juan Chirigu, Su Padru, Giorzi Pedde, Sa Sea de Tenneru, Su Padru Matteuzzu.

La maggior parte dei documenti visionati si riferiscono ad atti amministrativi di varia tipologia, elaborati progettuali, pratiche autorizzative dell'Ufficio su interventi nel territorio, comunicazioni tra l'Ufficio e il Ministero e altri enti territoriali, notizie di rinvenimenti etc.

I documenti di interesse relativi a località ricadenti nel parco eolico sono i seguenti:

- nullaosta della Soprintendenza (Prot. N. 4566 del 22 luglio 1991) per l'intervento dell'Enel Costruzione linee M.T. e P.T.P. per allaccio utenze: Pittalis-loc. Sea Tenneru – Thiesi Pulina-loc. Cantaru Ena – Florinas Pes-loc. Funtana e Giosso – Banari. L'intervento nel Comune di Thiesi ricade a circa 600 m a Sud dell'area della turbina AG04.
- nullaosta della Soprintendenza (Prot. N. 7823 del 19 dicembre 1995) per l'intervento dell'Enel *Linea MT-PTP-BT Allacci "Santoru-Pittalis" – Loc. Chessa Muri-Thiesi*. La linea MT in progetto intercetta l'area della turbina AG01.

7. Fonti bibliografiche, cartografiche e sitografiche

Fonti bibliografiche

Coletti A. 1997, *Thiesi (Sassari), Via Matteotti 37. Indagine archeologica*, Bollettino di archeologia, 46/48, p. 109.

Contu E. 1964, *Tombe preistoriche dipinte e scolpite di Thiesi e Bessude (Sassari)*, *Rivista di scienze preistoriche*, XIX, fasc. 1-4, pp. 233-263.

Contu E. 1971, *Campu 'e Rios (Thiesi)*, *Rivista di scienze preistoriche*, 26, 2, p. 499.

Elenco degli Edifici Monumentali, Ministero della Pubblica Istruzione, LXIX, Provincia di Sassari, Roma, 1922.

Foddai L. 2011, *Necropoli ipogeica di Mandra Antine, Thiesi*, in *La misura del tempo: archeologia e astronomia. Il prenuragico*, p. 69,

Fois A. 2020, *Sistemi insediativi d'altopiano in età nuragica. Monte Pelao, una giara del nord-Sardegna*, in *Notizie e scavi della Sardegna nuragica*, a cura di Gaicomo Paglietti, Federico Porcedda e Samuele Antonio Gaviano.

Foschi Nieddu A. 1984, *Thiesi (Sassari) Località Monte Majore*, in *I Sardi. La Sardegna dal Paleolitico all'età romana*, pp. 300-301.

Foschi Nieddu A. 1987, *La grotta Sa Korona di Monte Majore (Thiesi, Sassari). Primi risultati dello scavo 1980*, Atti della XXVI riunione scientifica IIPP "Il Neolitico in Italia", pp. 859-868.

Foschi Nieddu A. 1988, *Utensili di società neolitiche dalla grotta di Monte Majore (Thiesi, Sassari)*, Unione Internazionale delle scienze preistoriche e protostoriche, Atti del XIII Congresso, Forlì, 8-14 settembre 1996, pp. 296-300.

Madau M. 1997, *Le terrecotte votive di Monte Rujù di Thiesi*, Bollettino di archeologia, 46/48, pp. 26-41.

Madau M. 1997, *Popolazioni rurali tra Cartagine e Roma: Monte Ruiu a Thiesi*, in *Phoinikes b Shrdn. I Fenici in Sardegna*, pp. 159-163.

Milanese M. 1997, *Thiesi (Sassari), Carrela 'e Puttu. Intervento di emergenza*, Bollettino di archeologia, 46/48, p. 152.

Pettazzi G. 1988, *Insedimenti fenicio-punici nel territorio di Thiesi*, La provincia di Sassari – Periodico mensile dell'amministrazione provinciale, a. 6, n. 1, pp. 32-34.

Salis M.L. 1997, *Thiesi (Sassari). Indagini archeologiche nel centro storico*, Bollettino di archeologia, 46/48, pp. 108-109.

Sanna V. 2009, *Aspetti e problemi di preistoria e protostoria di Thiesi*, in Uomo e territorio: dinamiche di frequentazione e di sfruttamento delle risorse naturali nell'antichità, atti del Convegno nazionale dei giovani archeologi, Sassari 27-30 settembre 2006, p. 120-127.

Sechi M. 2006, *Beni culturali e territorio a Thiesi (Meilogu)*, Civiltà del mare – Periodico di studi, ricerca e informazione dell'Istituto delle civiltà del mare, San Teodoro, Sardegna, pp. 27-34.

Soro P.P. 2012, *La Necropoli ipogeica a domus de janas di Birgusa in località Corraile – Thiesi (SS), Ipotesi di Preistoria*, 5, pp. 47-78.

Soro P.P., Tola G. 2012, *Thiesi*, in Tutti i comuni della Sardegna, a cura di Salvatore Tola, Sassari.

Tanda G. 1978, *La tomba dipinta di Mandra Antine (Thiesi-Sassari)*, in Preistoria e protostoria della Sardegna centro-settentrionale – Guida alle escursioni, pp. 23-25.

Tanda G. 1984, *Thiesi (Sassari) Località Mandra Antine*, in I Sardi. La Sardegna dal Paleolitico all'età romana, pp. 298-300.

Taramelli A. 1940, *Edizione archeologica della Carta d'Italia al 100.000 – Foglio 193 – Bonorva*, Firenze [Ed. 1993, Carlo Delfino Editore, Sassari].

Usai L. 2014, *La valorizzazione dei beni culturali del territorio di Thiesi*, in Tancas, cunzados, funtanas e ateros giassos – La toponomastica rurale nel territorio di Thiesi, p. 13.

Fonti cartografiche e sitografiche

<https://www.sardegna.beniculturali.it/>

<http://vincoliinrete.beniculturali.it/vir/vir/vir.html>

<http://www.cartadelrischio.it/>

<http://www.sardegnameoportale.it/webgis2/sardegnameoportale/?map=repertorio2017>

<http://www.sardegnameoportale.it/navigatori/sardegnameoportale/>

<https://www.academia.edu/>

<http://opac.regione.sardegna.it/SebinaOpac/.do>

L'analisi delle fonti ha consentito di ricostruire il quadro insediativo di un'ampia fascia di territorio, estesa oltre 10 km dal perimetro del parco eolico. Sono stati censiti e georeferenziati in ambiente GIS i monumenti e i siti archeologici noti dalle fonti bibliografiche, cartografiche e sitografiche edite o consultabili online (Fig. 5).

La denominazione dei contesti è quella attestata nelle fonti consultate o indicata nella Carta Tecnica Regionale.

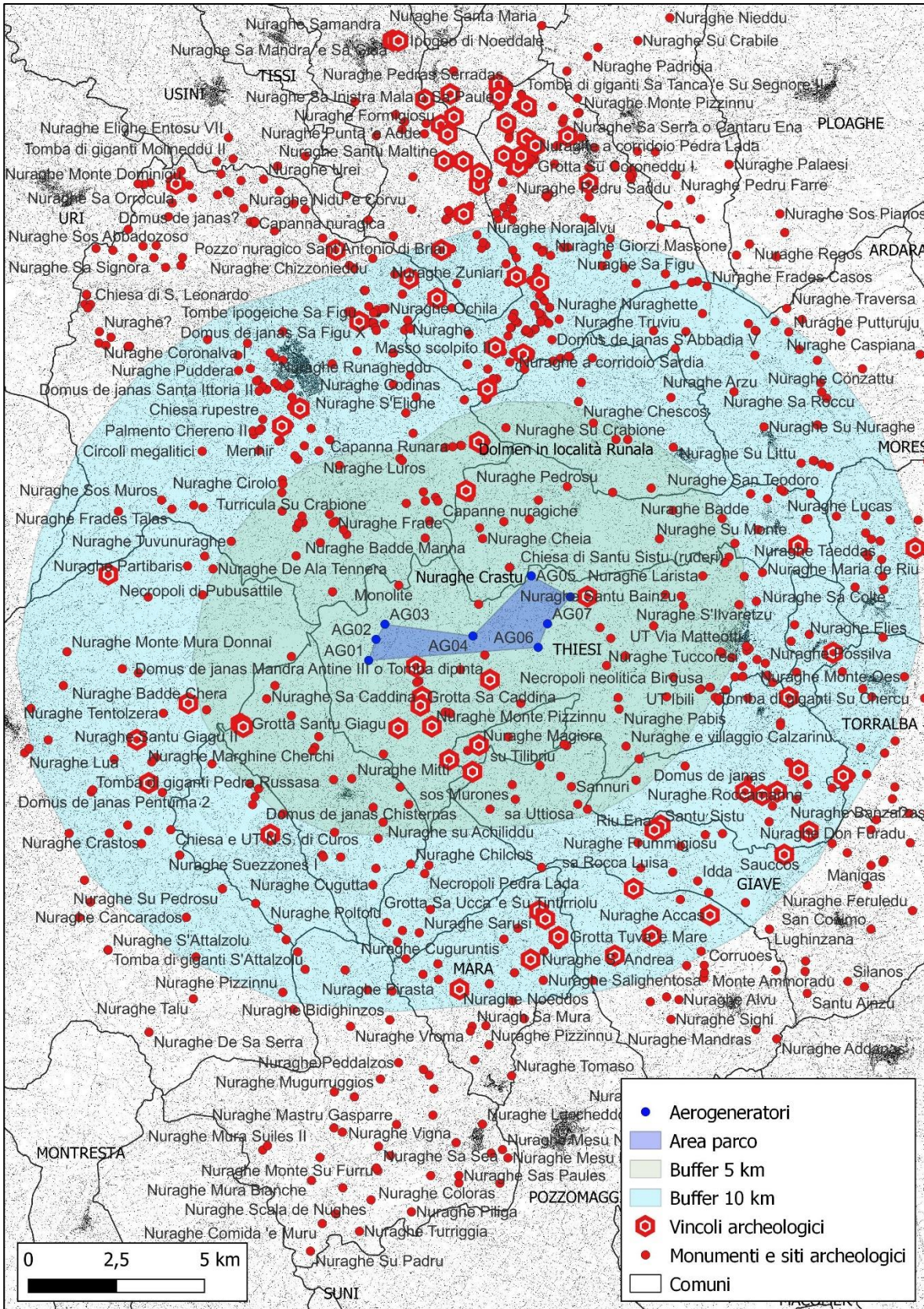


Figura 5. Localizzazione dei vincoli, dei principali monumenti e siti archeologici noti, base CTR.

8. Ricognizioni di superficie

8.1. Nota metodologica

La ricognizione di superficie in ambito archeologico comprende le tecniche e le applicazioni necessarie alla individuazione di siti archeologici. Senza entrare nel merito del complesso dibattito metodologico che comporta la definizione di sito archeologico, in questo ambito per sito archeologico s'intendono le aree, circoscrivibili, nelle quali sono presenti edifici o strutture archeologiche, monumenti di tipologia nota o reperti in superficie con una densità superiore alla media locale (esito della distruzione/erosione e successiva stratificazione di strutture, edifici, abitati etc.); bisogna distinguere anche i reperti (*extra sito*) non attribuibili a un sito ma che testimoniano semplicemente una frequentazione del territorio.

In pratica la ricognizione si effettua attraverso un'ispezione diretta del terreno o di porzioni ben definite di territorio, fatta in modo da garantire una copertura uniforme e sistematica dell'area indagata, che viene percorsa a piedi alla ricerca di manufatti o di altre tracce archeologiche, spesso molto frammentarie. La ricognizione archeologica (o *survey* archeologico) rappresenta lo strumento fondamentale per la ricostruzione dei paesaggi del passato ormai scomparsi o esistenti allo stato di fossili.

Gli esiti del *survey* archeologico sono strettamente correlati alla visibilità di superficie. Nel caso in esame è stata adottata una scala della visibilità con valori da 0 a 4 (Tab. 1): nulla, bassa, media, medio alta, alta (in sostanza: assente, scarsa o limitata, discreta, buona, ottima). Per quanto riguarda la visibilità nulla e la visibilità bassa è opportuno e utile distinguere il carattere temporaneo o permanente, come nel caso di aree coperte da vegetazione più o meno coprente, non influenzata dalla stagionalità.

A titolo esemplificativo, i terreni coperti dalla vegetazione, o comunque non visibili, hanno una visibilità pari a 0 e non sono ricognibili mentre i terreni arati e fresati presentano un grado di visibilità equivalente a 4, che consente agevolmente di rilevare la presenza di elementi archeologici e di valutare correttamente il potenziale archeologico di un sito.

Scala dei valori	Grado della visibilità		Giudizio sulla visibilità
0	Nulla	permanente	Assente
		temporanea	
1	Bassa	permanente	Scarsa
		temporanea	

2	Media	Discreta
3	Medio alta	Buona
4	Alta	Ottima

Tabella 1

La visibilità è influenzata non solo dalla vegetazione ma anche dalle vicende geo-pedologiche recenti (erosione e accumulo); ne consegue che anche nelle aree ricognibili e apparentemente prive di elementi archeologici, potrebbero in realtà conservarsi le tracce di contesti archeologici coperte da sedimenti o da potenti strati alluvionali. È opportuno infine ricordare che la valutazione della visibilità archeologica è influenzata da un margine di discrezionalità in relazione all'esperienza del ricognitore.

Le aree sottoposte a ricognizione sono state documentate con rilievo fotografico mentre i materiali rilevati e i siti eventualmente individuati sono stati rilevati con Garmin GPSmap 60CSx. I dati cartografici sono stati elaborati e stampati con software QGIS 3.

8.2. Dati raccolti e Carta della visibilità di superficie



Per esigenze organizzative durante le ricognizioni archeologiche l'area di progetto è stata suddivisa in Unità di Ricognizione (UR) in base a criteri pratici-operativi, alla visibilità dei suoli e ai confini di proprietà.



Le schede di Unità di Ricognizione sintetizzano i dati raccolti nel corso del survey, organizzati secondo il MODI, il Modulo Informativo proposto dall'ICCD per l'acquisizione speditiva di dati (http://www.iccd.beniculturali.it/it/ricercanormative/105/modi-modulo-informativo-4_00).



Le ricognizioni sono state effettuate tra i mesi di maggio e agosto 2022, in condizioni di cielo sereno e in assenza di vento.

Durante il survey, nei terreni ispezionati è stata riscontrata una visibilità di superficie generalmente media (Figg. 12, 15, 18, 23, 26, 33). I terreni esaminati presentavano, in alcuni casi, una vegetazione in crescita, di media altezza, mentre i terreni normalmente adibiti a pascolo mostravano una vegetazione più o meno bassa e rada. In tutte le aree esaminate è stata riscontrata la presenza di settori, non uniformi e di varia estensione, con macchia, arbusti e alberi isolati e di settori boschivi, comunque ricognibili (UR 4-8 e alcuni tratti del cavidotto). Al di fuori dei tratti di avvicinamento agli aerogeneratori, il cavidotto segue le strade esistenti sterrate o asfaltate.

Le ricognizioni hanno dato esito negativo in tutti i casi esaminati. Si riscontra anche l'assenza di rinvenimenti sporadici.

UR 1			
RCG	Ricognizione archeologica		
RCGV	Denominazione ricognizione	Area AG01 – Cavidotto 2	
RCGD	Riferimento cronologico	Maggio 2022	
RCGT	Situazione ambientale	Area sub-pianeggiante in lieve pendenza nel quadrante nord-occidentale, con elevazione (NW-SE, min. med. max.) 439, 444, 450 m s.l.m. Terreno con macchia, arbusti e isolate querce. In generale il terreno presenta una copertura erbacea non uniforme, bassa e rada. L'area è attraversata da una strada sterrata mentre una divisione fondiaria con muro a secco si osserva nel settore sud-orientale. Non si osservano tracce o strutture archeologiche.	
	Stato del terreno		Visibilità di superficie
	<input type="checkbox"/> Arato <input type="checkbox"/> Pastura <input type="checkbox"/> Stoppie <input type="checkbox"/> Coltivato <input type="checkbox"/> Vegetazione erbacea <input type="checkbox"/> Vegetazione secca <input type="checkbox"/> Macchia, arbusteti mediterranei	<input type="checkbox"/> Piantagione <input type="checkbox"/> Bosco <input type="checkbox"/> Roccia <input type="checkbox"/> Strada asfaltata <input type="checkbox"/> Strada cementata <input type="checkbox"/> Strada sterrata <input type="checkbox"/> Stradello	<input type="checkbox"/> Visibilità 0_nulla permanente <input type="checkbox"/> Visibilità 0_nulla temporanea <input type="checkbox"/> Visibilità 1_bassa permanente <input type="checkbox"/> Visibilità 1_bassa temporanea <input type="checkbox"/> Visibilità 2_media <input type="checkbox"/> Visibilità 3_medio alta <input type="checkbox"/> Visibilità 4_alta
RCGE	Motivo	Verifica preventiva dell'interesse archeologico	
RCGM	Metodo	Sistematico	
RCGR	Ente responsabile	SABAP SS NU	
RCGA	Responsabile scientifico	Delussu, Fabrizio	
RCGZ	Note		
GE	Georeferenziazione		
GEL	Tipo di localizzazione	Localizzazione fisica	
GET	Tipo di georeferenziazione	Localizzazione puntuale	
GEP	Sistema di riferimento	EPSG 3003	
GECX	Coordinata x	1465618.912	
GECY	Coordinata y	4485340.507	
GECZ	Coordinata z	445	
GECS	Note	Coordinate del centroide	
GPT	Tecnica di georeferenziazione	Rilievo tramite GPS – Applicazioni GIS	
GPM	Metodo di posizionamento	Posizionamento esatto	
FTA	Documentazione fotografica		
			
<p>Figura 6. Area della turbina AG01, Punto di Scatto 15, vista verso N.</p>		<p>Figura 7. Area della turbina AG01, PS 23, vista verso SE.</p>	

UR 2			
	RCG	Ricognizione archeologica	
	RCGV	Denominazione ricognizione	Area AG02
	RCGD	Riferimento cronologico	Maggio 2022
	RCGT	Situazione ambientale	Area pianeggiante adibita a pascolo, con presenza di affioramenti basaltici nei settori periferici (a WSW, NE, SE). Elevazione (NW-SE, min. med. max.) 447, 450, 457 m s.l.m. Terreno con copertura bassa e rada, settori con macchia e roccia affiorante. Un muro a secco attraversa tutta la parte centrale dell'area (piazze) da NNE verso SSW. Non si osservano tracce o strutture archeologiche.
		Stato del terreno	Visibilità di superficie
		<input type="checkbox"/> Arato <input type="checkbox"/> Pastura <input type="checkbox"/> Stoppie <input type="checkbox"/> Coltivato <input type="checkbox"/> Vegetazione erbacea <input type="checkbox"/> Vegetazione secca <input type="checkbox"/> Macchia, arbusteti mediterranei	<input type="checkbox"/> Visibilità 0_nulla permanente <input type="checkbox"/> Visibilità 0_nulla temporanea <input type="checkbox"/> Visibilità 1_bassa permanente <input type="checkbox"/> Visibilità 1_bassa temporanea <input type="checkbox"/> Visibilità 2_media <input type="checkbox"/> Visibilità 3_medio alta <input type="checkbox"/> Visibilità 4_alta
	RCGE	Motivo	Verifica preventiva dell'interesse archeologico
	RCGM	Metodo	Sistematico
	RCGR	Ente responsabile	SABAP SS NU
	RCGA	Responsabile scientifico	Delussu, Fabrizio
	RCGZ	Note	
	GE	Georeferenziazione	
	GEL	Tipo di localizzazione	Localizzazione fisica
	GET	Tipo di georeferenziazione	Localizzazione puntuale
	GEP	Sistema di riferimento	EPSG 3003
	GECX	Coordinata x	1465839.721
	GECY	Coordinata y	4485959.371
	GECZ	Coordinata z	449
	GECS	Note	Coordinate del centroide
	GPT	Tecnica di georeferenziazione	Rilievo tramite GPS – Applicazioni GIS
	GPM	Metodo di posizionamento	Posizionamento esatto
	FTA	Documentazione fotografica	
		 <p>Figure 8. Area della turbina AG02, PS 32, vista verso NW.</p>	 <p>Figure 9. Area della turbina AG02, PS 38, vista verso NNE.</p>

UR 3			
	RCG	Ricognizione archeologica	
	RCGV	Denominazione ricognizione	Area AG03
	RCGD	Riferimento cronologico	Maggio 2022
	RCGT	Situazione ambientale	Area sub-pianeggiante in lieve pendenza, con elevazione (W-E, min. med. max.) 451, 455, 458 m s.l.m. Terreno con copertura erbacea bassa e uniforme, vegetazione alta localizzata (asfodeli), arbusti e isolati alberi. Un muro a secco attraversa il settore centrale dell'area (piazze ausiliarie) da NE verso SSW. Non si osservano tracce o strutture archeologiche.
		Stato del terreno	Visibilità di superficie
		<input type="checkbox"/> Arato <input type="checkbox"/> Pastura <input type="checkbox"/> Stoppie <input type="checkbox"/> Coltivato <input type="checkbox"/> Vegetazione erbacea <input type="checkbox"/> Vegetazione secca <input type="checkbox"/> Macchia, arbusteti mediterranei	<input type="checkbox"/> Visibilità 0_nulla permanente <input type="checkbox"/> Visibilità 0_nulla temporanea <input type="checkbox"/> Visibilità 1_bassa permanente <input type="checkbox"/> Visibilità 1_bassa temporanea <input type="checkbox"/> Visibilità 2_media <input type="checkbox"/> Visibilità 3_medio alta <input type="checkbox"/> Visibilità 4_alta
	RCGE	Motivo	Verifica preventiva dell'interesse archeologico
	RCGM	Metodo	Sistematico
	RCGR	Ente responsabile	SABAP SS NU
	RCGA	Responsabile scientifico	Delussu, Fabrizio
	RCGZ	Note	
	GE	Georeferenziazione	
	GEL	Tipo di localizzazione	Localizzazione fisica
	GET	Tipo di georeferenziazione	Localizzazione puntuale
	GEP	Sistema di riferimento	EPSG 3003
	GECX	Coordinata x	1466103.307
	GECY	Coordinata y	4486404.920
	GECZ	Coordinata z	455
	GECS	Note	Coordinate del centroide
	GPT	Tecnica di georeferenziazione	Rilievo tramite GPS – Applicazioni GIS
	GPM	Metodo di posizionamento	Posizionamento esatto
	FTA	Documentazione fotografica	
			
		<p>Figura 10. Area della turbina AG03, PS 44, vista verso W.</p>	<p>Figura 11. Area della turbina AG03, PS 47, vista verso E.</p>

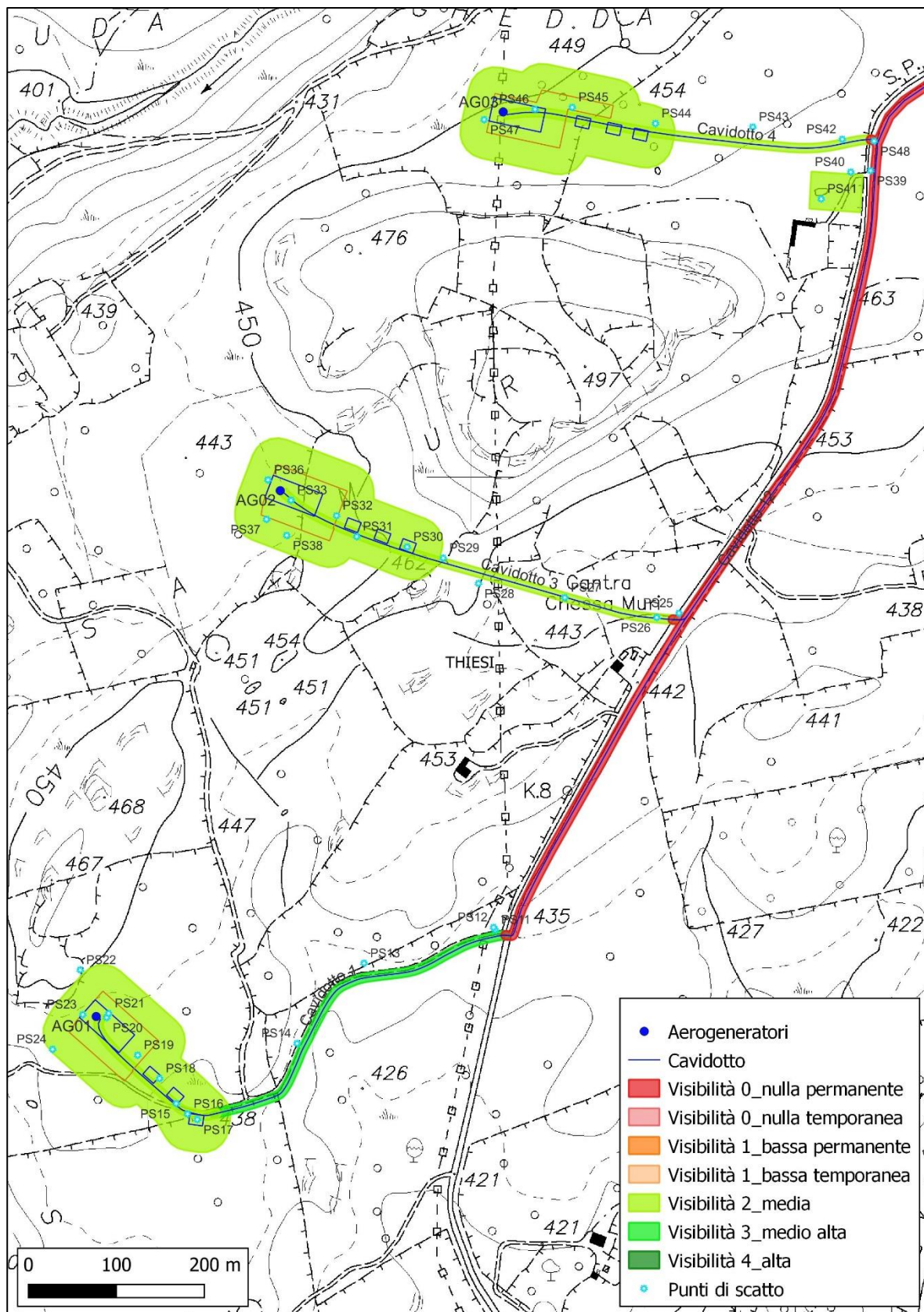




Figura 12. Settore degli aerogeneratori AG01, AG02 e AG03; stralcio della Carta della visibilità archeologica.

UR 4			
RCG	Ricognizione archeologica		
RCGV	Denominazione ricognizione	Area AG04	
RCGD	Riferimento cronologico	Maggio 2022	
RCGT	Situazione ambientale	Sommità di un rilievo basaltico e area di versante (settore nord-orientale). Elevazione (NE-SW, min. med. max.) 488, 502, 508 m s.l.m. Terreno con copertura erbacea bassa e rada, passante ad arbustiva, settori con addensamenti di piante di asfodelo e aree boschive. Presenza diffusa di roccia affiorante e di massi erratici di grandi dimensioni. Non si osservano tracce o strutture archeologiche.	
	Stato del terreno		Visibilità di superficie
	<input type="checkbox"/> Arato <input type="checkbox"/> Pastura <input type="checkbox"/> Stoppie <input type="checkbox"/> Coltivato <input type="checkbox"/> Vegetazione erbacea <input type="checkbox"/> Vegetazione secca <input type="checkbox"/> Macchia, arbusteti mediterranei	<input type="checkbox"/> Piantagione <input type="checkbox"/> Bosco <input type="checkbox"/> Roccia <input type="checkbox"/> Strada asfaltata <input type="checkbox"/> Strada cementata <input type="checkbox"/> Strada sterrata <input type="checkbox"/> Stradello	<input type="checkbox"/> Visibilità 0_nulla permanente <input type="checkbox"/> Visibilità 0_nulla temporanea <input type="checkbox"/> Visibilità 1_bassa permanente <input type="checkbox"/> Visibilità 1_bassa temporanea <input type="checkbox"/> Visibilità 2_media <input type="checkbox"/> Visibilità 3_medio alta <input type="checkbox"/> Visibilità 4_alta
RCGE	Motivo	Verifica preventiva dell'interesse archeologico	
RCGM	Metodo	Sistematico	
RCGR	Ente responsabile	SABAP SS NU	
RCGA	Responsabile scientifico	Delussu, Fabrizio	
RCGZ	Note		
GE	Georeferenziazione		
GEL	Tipo di localizzazione	Localizzazione fisica	
GET	Tipo di georeferenziazione	Localizzazione puntuale	
GEP	Sistema di riferimento	EPSG 3003	
GECX	Coordinata x	1468576.666	
GECY	Coordinata y	4486126.733	
GECZ	Coordinata z	505	
GECS	Note	Coordinate del centroide	
GPT	Tecnica di georeferenziazione	Rilievo tramite GPS – Applicazioni GIS	
GPM	Metodo di posizionamento	Posizionamento esatto	
FTA	Documentazione fotografica		
			
<p>Figura 13. Area della turbina AG04, PS 54, vista verso S.</p>		<p>Figura 14. Area della turbina AG04, PS 55, vista verso NE.</p>	

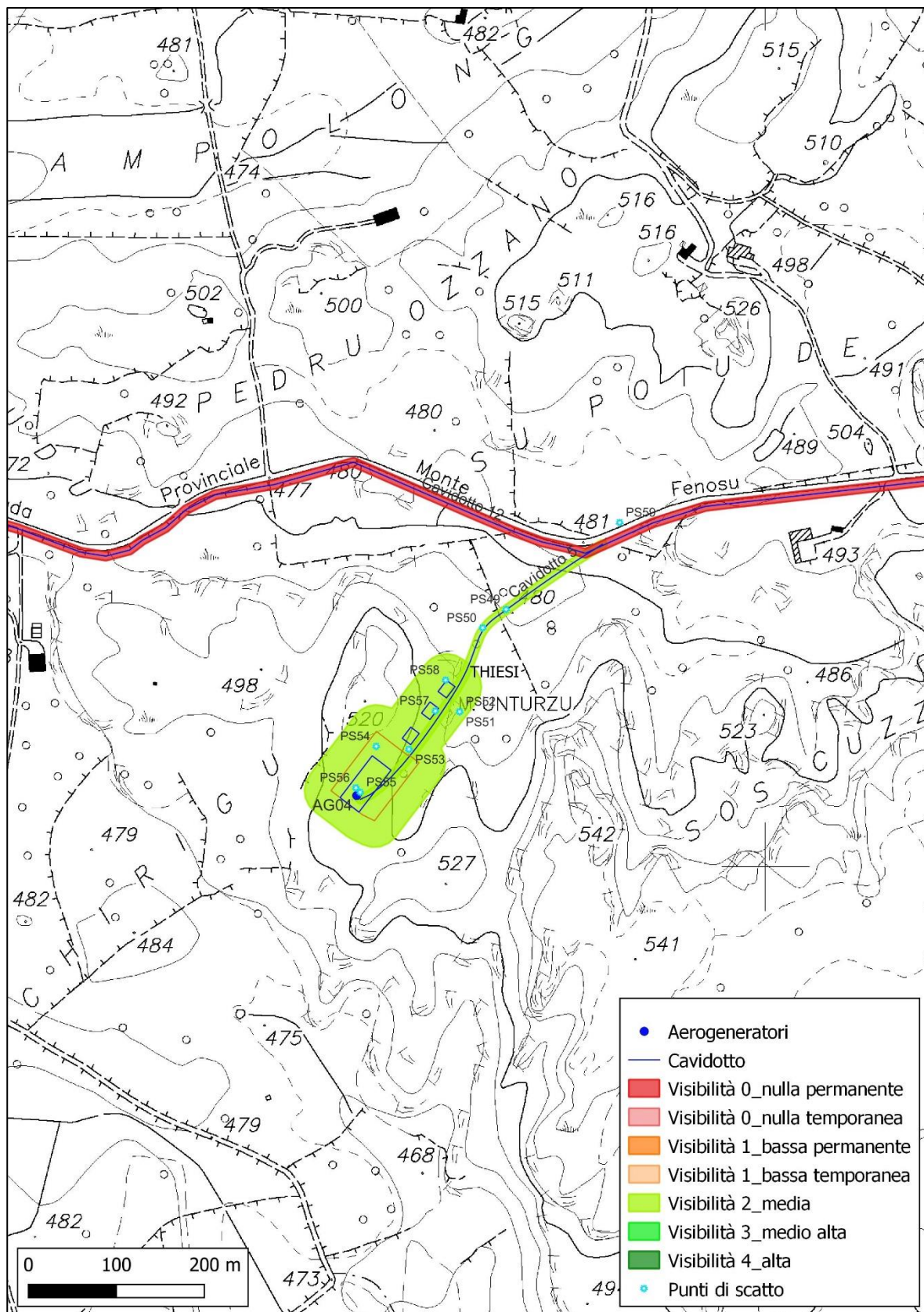




Figura 15. Area della turbina AG04, stralcio della Carta della visibilità di superficie.

UR 5			
	RCG	Ricognizione archeologica	
	RCGV	Denominazione ricognizione	Area AG05
	RCGD	Riferimento cronologico	Maggio 2022
	RCGT	Situazione ambientale	Altopiano con elevazione (W-E, min. med. max.) 525, 526, 527 m s.l.m. Terreno con copertura arborea bassa e uniforme, con presenza diffusa di alberi del genere <i>Quercus</i> . Presenza di acquitrini nelle immediate vicinanze. Non si osservano tracce o strutture archeologiche.
		Stato del terreno	
		<input type="checkbox"/> Arato <input type="checkbox"/> Pastura <input type="checkbox"/> Stoppie <input type="checkbox"/> Coltivato <input type="checkbox"/> Vegetazione erbacea <input type="checkbox"/> Vegetazione secca <input type="checkbox"/> Macchia, arbusteti mediterranei	<input type="checkbox"/> Piantagione <input type="checkbox"/> Bosco <input type="checkbox"/> Roccia <input type="checkbox"/> Strada asfaltata <input type="checkbox"/> Strada cementata <input type="checkbox"/> Strada sterrata <input type="checkbox"/> Stradello
	RCGE	Motivo	Verifica preventiva dell'interesse archeologico
	RCGM	Metodo	Sistematico
	RCGR	Ente responsabile	SABAP SS_NU
	RCGA	Responsabile scientifico	Delussu, Fabrizio
	RCGZ	Note	
	GE	Georeferenziazione	
	GEL	Tipo di localizzazione	Localizzazione fisica
	GET	Tipo di georeferenziazione	Localizzazione puntuale
	GEP	Sistema di riferimento	EPSG 3003
	GECX	Coordinata x	1470261.017
	GECY	Coordinata y	4487796.856
	GECZ	Coordinata z	527
	GECS	Note	Coordinate del centroide
	GPT	Tecnica di georeferenziazione	Rilievo tramite GPS – Applicazioni GIS
	GPM	Metodo di posizionamento	Posizionamento esatto
	FTA	Documentazione fotografica	
			
	Figura 16. Area della turbina AG05, PS 119, vista verso W.		Figura 17. Area della turbina AG05, PS 115, vista verso ENE.

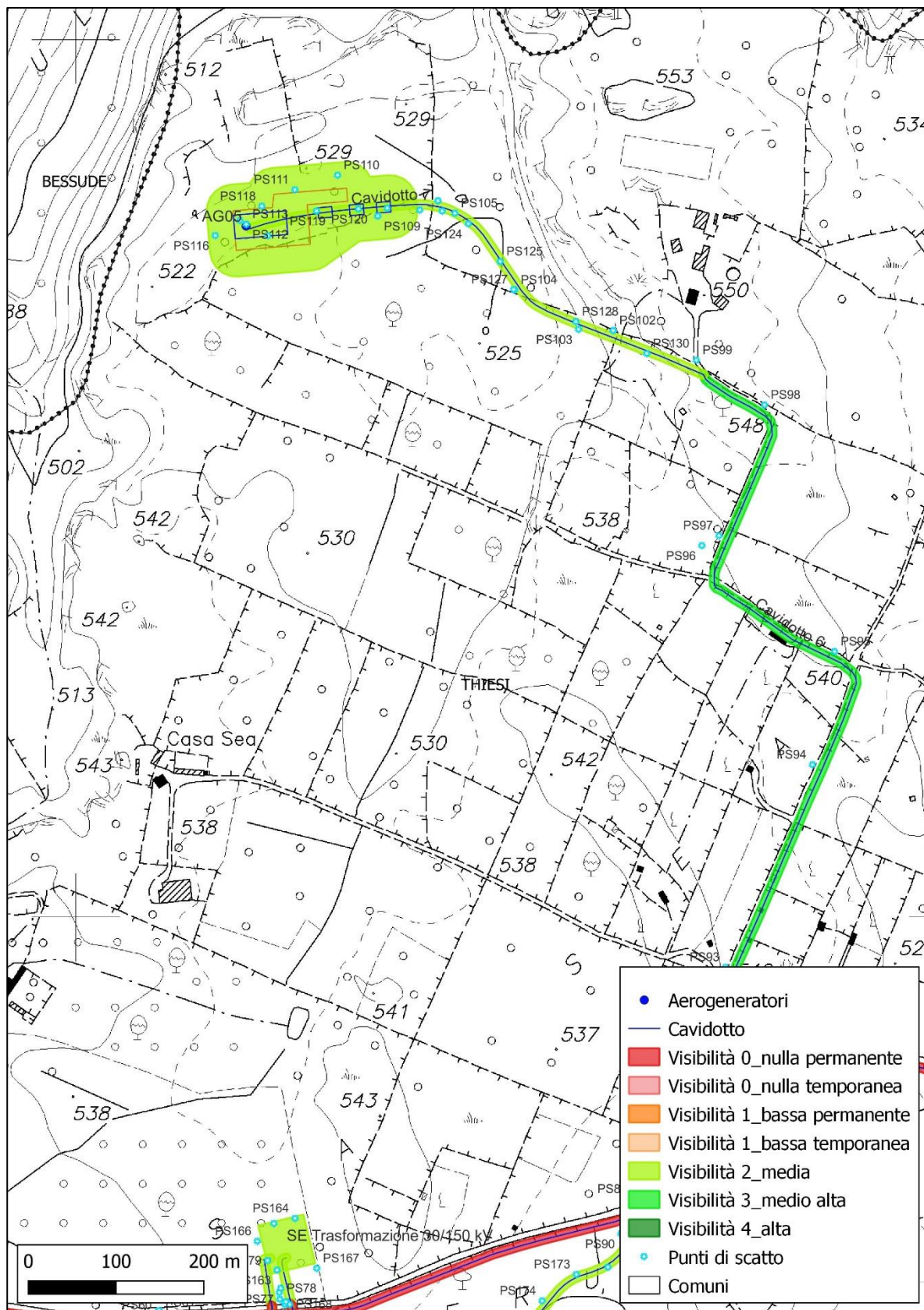






Figura 18. Area della turbina AG05, stralcio della Carta della visibilità di superficie.

UR 6			
RCG	Ricognizione archeologica		
RCGV	Denominazione ricognizione	Area AG06	
RCGD	Riferimento cronologico	Maggio 2022	
RCGT	Situazione ambientale	Altopiano dal profilo ondulato, con elevazione (NNW-SSE, min. med. max.) 539, 546, 549 m s.l.m. Terreno con copertura arborea uniforme e vegetazione in crescita. Presenza localizzata di querce. Non si osservano tracce o strutture archeologiche.	
	Stato del terreno		Visibilità di superficie
	<input type="checkbox"/> Arato <input type="checkbox"/> Pastura <input type="checkbox"/> Stoppie <input type="checkbox"/> Coltivato <input type="checkbox"/> Vegetazione erbacea <input type="checkbox"/> Vegetazione secca <input type="checkbox"/> Macchia, arbusteti mediterranei	<input type="checkbox"/> Piantagione <input type="checkbox"/> Bosco <input type="checkbox"/> Roccia <input type="checkbox"/> Strada asfaltata <input type="checkbox"/> Strada cementata <input type="checkbox"/> Strada sterrata <input type="checkbox"/> Stradello	<input type="checkbox"/> Visibilità 0_nulla permanente <input type="checkbox"/> Visibilità 0_nulla temporanea <input type="checkbox"/> Visibilità 1_bassa permanente <input type="checkbox"/> Visibilità 1_bassa temporanea <input type="checkbox"/> Visibilità 2_media <input type="checkbox"/> Visibilità 3_medio alta <input type="checkbox"/> Visibilità 4_alta
RCGE	Motivo	Verifica preventiva dell'interesse archeologico	
RCGM	Metodo	Sistematico	
RCGR	Ente responsabile	SABAP SS_NU	
RCGA	Responsabile scientifico	Delussu, Fabrizio	
RCGZ	Note		
GE	Georeferenziazione		
GEL	Tipo di localizzazione	Localizzazione fisica	
GET	Tipo di georeferenziazione	Localizzazione puntuale	
GEP	Sistema di riferimento	EPSG 3003	
GECX	Coordinata x	1470360.860	
GECY	Coordinata y	4485814.474	
GECZ	Coordinata z	549	
GECS	Note	Coordinate del centroide	
GPT	Tecnica di georeferenziazione	Rilievo tramite GPS – Applicazioni GIS	
GPM	Metodo di posizionamento	Posizionamento esatto	
FTA	Documentazione fotografica		
			
<p>Figura 19. Area della turbina AG06, PS 72, vista verso SE.</p>		<p>Figura 20. Area della turbina AG06, PS 73, vista verso NW.</p>	

UR 7			
RCG	Ricognizione archeologica		
RCGV	Denominazione ricognizione	Area AG07 – Cavidotto 9	
RCGD	Riferimento cronologico	Agosto 2022	
RCGT	Situazione ambientale	Area con profilo irregolare ed elevazione (NW-SE, min. med. max.) 534, 537, 540 m s.l.m. Terreno con bosco rado (quercia) e con vegetazione arbustiva. Presenza di massi rocciosi di grandi dimensioni e di affioramenti di roccia. Un muro a secco divide l'area da E a SW in corrispondenza della piazzola definitiva. Il Cavidotto 9 si sviluppa per un tratto di 407 m circa dalla SP 134, su un terreno pianeggiante con vegetazione bassa e secca. Non si osservano tracce o strutture archeologiche.	
	Stato del terreno		Visibilità di superficie
	<input type="checkbox"/> Arato <input type="checkbox"/> Pastura <input type="checkbox"/> Stoppie <input type="checkbox"/> Coltivato <input type="checkbox"/> Vegetazione erbacea <input type="checkbox"/> Vegetazione secca <input type="checkbox"/> Macchia, arbusteti mediterranei	<input type="checkbox"/> Piantagione <input type="checkbox"/> Bosco <input type="checkbox"/> Roccia <input type="checkbox"/> Strada asfaltata <input type="checkbox"/> Strada cementata <input type="checkbox"/> Strada sterrata <input type="checkbox"/> Stradello	<input type="checkbox"/> Visibilità 0_nulla permanente <input type="checkbox"/> Visibilità 0_nulla temporanea <input type="checkbox"/> Visibilità 1_bassa permanente <input type="checkbox"/> Visibilità 1_bassa temporanea <input type="checkbox"/> Visibilità 2_media <input type="checkbox"/> Visibilità 3_medio alta <input type="checkbox"/> Visibilità 4_alta
RCGE	Motivo	Verifica preventiva dell'interesse archeologico	
RCGM	Metodo	Sistematico	
RCGR	Ente responsabile	SABAP SS_NU	
RCGA	Responsabile scientifico	Delussu, Fabrizio	
RCGZ	Note		
GE			
GE	Georeferenziazione		
GEL	Tipo di localizzazione	Localizzazione fisica	
GET	Tipo di georeferenziazione	Localizzazione puntuale	
GEP	Sistema di riferimento	EPSG 3003	
GECX	Coordinata x	1470499.140	
GECY	Coordinata y	4486406.165	
GECZ	Coordinata z	538	
GECS	Note	Coordinate del centroide	
GPT	Tecnica di georeferenziazione	Rilievo tramite GPS – Applicazioni GIS	
GPM	Metodo di posizionamento	Posizionamento esatto	
FTA			
FTA	Documentazione fotografica		
			
<p>Figura 21. Area della turbina AG07, PS181, vista verso SSE.</p>		<p>Figura 22. Area della turbina AG07, PS187, vista verso NNW.</p>	

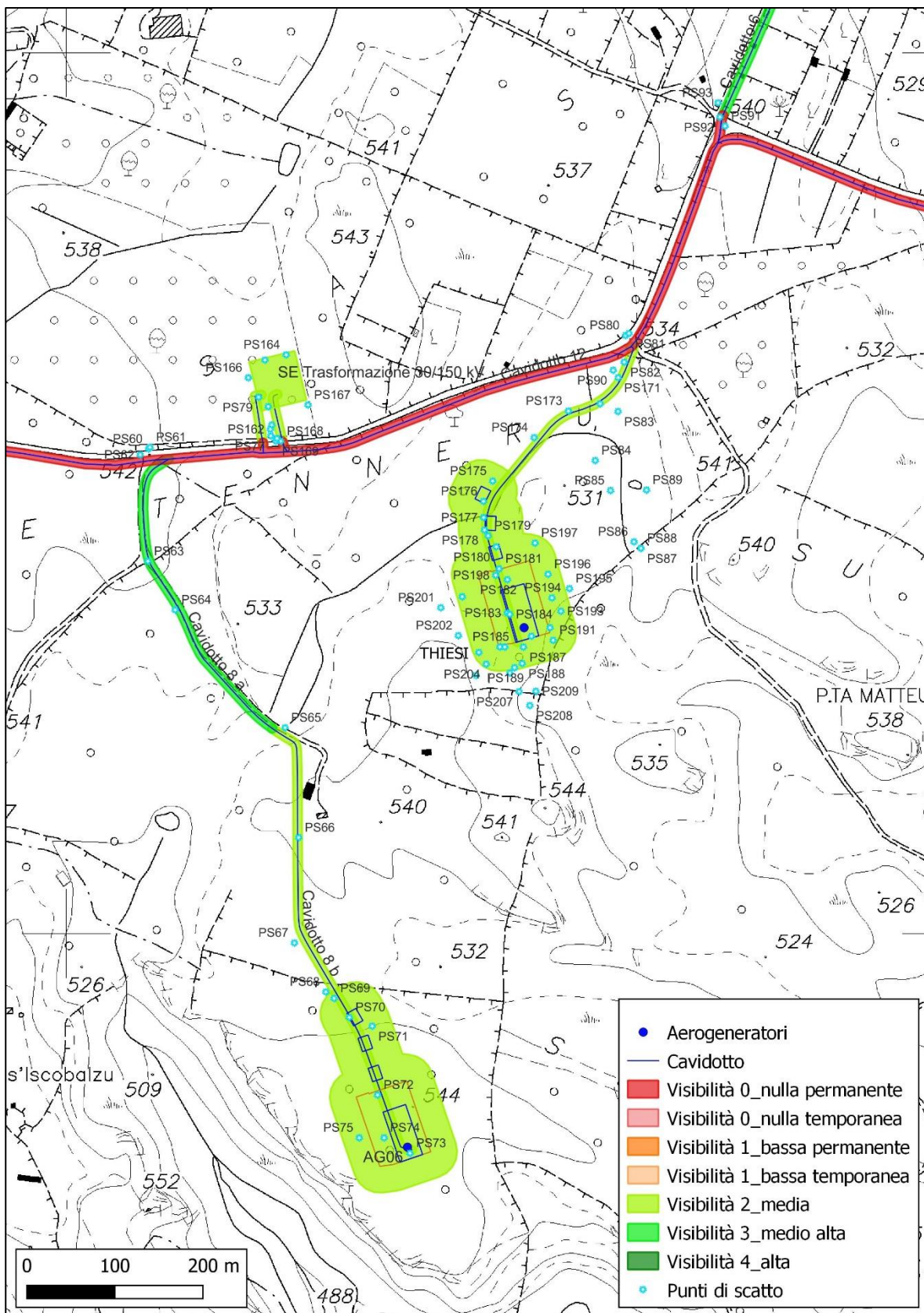




Figura 23. Settore delle turbine AG06, AG07 e della SE Thiesi; stralcio della Carta della visibilità di superficie.

UR 8			
RCG	Ricognizione archeologica		
RCGV	Denominazione ricognizione	Area AG08	
RCGD	Riferimento cronologico	Maggio 2022	
RCGT	Situazione ambientale	<p>Altopiano con profilo irregolare. Elevazione (NE-SW, min. med. max.) 512, 516, 517 m s.l.m. Terreno con copertura erbacea bassa e uniforme. Presenza di macchia e di bosco nei settori settentrionale e orientale. Nell'area si osservano i muri a secco pertinenti alle divisioni fondiarie e alla viabilità antica (andamento da Nord verso Sud, con diramazione centrale verso Ovest). Si rileva inoltre la presenza del rudere di un edificio rurale a pianta quadrangolare. Non si osservano tracce o strutture archeologiche.</p>	
	Stato del terreno		Visibilità di superficie
	<input type="checkbox"/> Arato <input type="checkbox"/> Pastura <input type="checkbox"/> Stoppie <input type="checkbox"/> Coltivato <input type="checkbox"/> Vegetazione erbacea <input type="checkbox"/> Vegetazione secca <input type="checkbox"/> Macchia, arbusteti mediterranei	<input type="checkbox"/> Piantagione <input type="checkbox"/> Bosco <input type="checkbox"/> Roccia <input type="checkbox"/> Strada asfaltata <input type="checkbox"/> Strada cementata <input type="checkbox"/> Strada sterrata <input type="checkbox"/> Stradello	<input type="checkbox"/> Visibilità 0_nulla permanente <input type="checkbox"/> Visibilità 0_nulla temporanea <input type="checkbox"/> Visibilità 1_bassa permanente <input type="checkbox"/> Visibilità 1_bassa temporanea <input type="checkbox"/> Visibilità 2_media <input type="checkbox"/> Visibilità 3_medio alta <input type="checkbox"/> Visibilità 4_alta
RCGE	Motivo	Verifica preventiva dell'interesse archeologico	
RCGM	Metodo	Sistematico	
RCGR	Ente responsabile	SABAP SS_NU	
RCGA	Responsabile scientifico	Delussu, Fabrizio	
RCGZ	Note		
GE	Georeferenziazione		
GEL	Tipo di localizzazione	Localizzazione fisica	
GET	Tipo di georeferenziazione	Localizzazione puntuale	
GEP	Sistema di riferimento	EPSG 3003	
GECX	Coordinata x	1471278.229	
GECY	Coordinata y	4487129.468	
GECZ	Coordinata z	517	
GECS	Note	Coordinate del centroide	
GPT	Tecnica di georeferenziazione	Rilievo tramite GPS – Applicazioni GIS	
GPM	Metodo di posizionamento	Posizionamento esatto	
FTA	Documentazione fotografica		
			
<p>Figura 24. Area della turbina AG08, PS 143, vista verso NW.</p>		<p>Figura 25. Area della turbina AG08, PS 145, vista verso SSW.</p>	

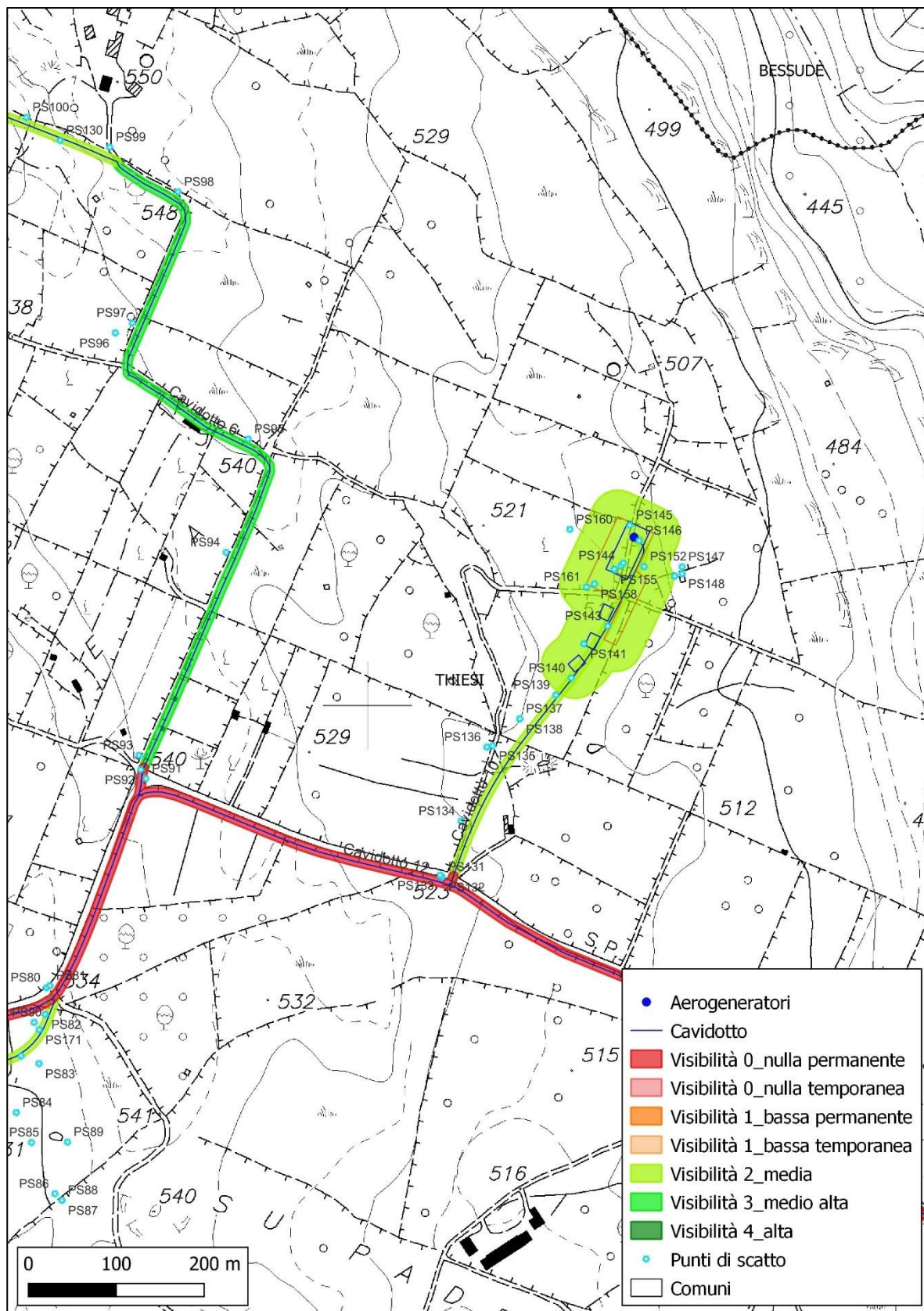






Figura 26. Area della turbina AG08, stralcio della Carta della visibilità di superficie.

UR 9			
RCG	Ricognizione archeologica		
RCGV	Denominazione ricognizione	SE di trasformazione Thiesi – Cavidotto 11 a - Cavidotto 11 b	
RCGD	Riferimento cronologico	Aprile 2022	
RCGT	Situazione ambientale	Area pianeggiante sottoposta ad uso agricolo, localizzata a breve distanza dalla strada asfaltata (SP 134). Elevazione (NW-SE, min. med. max.) 538, 538, 539 m s.l.m. Terreno seminato con copertura vegetale bassa e uniforme. Presenza di alberi isolati. Sul medesimo tipo di terreno, due tratti di cavidotto (11 a e 11 b), lunghi rispettivamente 61 m e 57 m circa, collegano la stazione al tracciato principale del cavidotto. Non si osservano tracce o strutture archeologiche.	
	Stato del terreno		Visibilità di superficie
	<input type="checkbox"/> Arato <input type="checkbox"/> Pastura <input type="checkbox"/> Stoppie <input type="checkbox"/> Coltivato <input type="checkbox"/> Vegetazione erbacea <input type="checkbox"/> Vegetazione secca <input type="checkbox"/> Macchia, arbusteti mediterranei	<input type="checkbox"/> Piantagione <input type="checkbox"/> Bosco <input type="checkbox"/> Roccia <input type="checkbox"/> Strada asfaltata <input type="checkbox"/> Strada cementata <input type="checkbox"/> Strada sterrata <input type="checkbox"/> Stradello	<input type="checkbox"/> Visibilità 0_nulla permanente <input type="checkbox"/> Visibilità 0_nulla temporanea <input type="checkbox"/> Visibilità 1_bassa permanente <input type="checkbox"/> Visibilità 1_bassa temporanea <input type="checkbox"/> Visibilità 2_media <input type="checkbox"/> Visibilità 3_medio alta <input type="checkbox"/> Visibilità 4_alta
RCGE	Motivo	Verifica preventiva dell'interesse archeologico	
RCGM	Metodo	Sistematico	
RCGR	Ente responsabile	SABAP SS NU	
RCGA	Responsabile scientifico	Delussu, Fabrizio	
RCGZ	Note		
GE	Georeferenziazione		
GEL	Tipo di localizzazione	Localizzazione fisica	
GET	Tipo di georeferenziazione	Localizzazione puntuale	
GEP	Sistema di riferimento	EPSG 3003	
GECX	Coordinata x	1470240.022	
GECY	Coordinata y	4486627.673	
GECZ	Coordinata z	539	
GECS	Note	Coordinate del centroide	
GPT	Tecnica di georeferenziazione	Rilievo tramite GPS – Applicazioni GIS	
GPM	Metodo di posizionamento	Posizionamento esatto	
FTA	Documentazione fotografica		
			
<p>Figura 27. Area della SE di trasformazione Thiesi, PS 162, vista verso NNW.</p>		<p>Figura 28. Area della SE di trasformazione Thiesi, PS 164, vista verso SW.</p>	

UR 10			
RCG	Ricognizione archeologica		
RCGV	Denominazione ricognizione	SE di trasformazione Ittiri – Cavidotto 15	
RCGD	Riferimento cronologico	Aprile 2022	
RCGT	Situazione ambientale	Area pianeggiante localizzata all'angolo tra la SS 131 bis e una strada di penetrazione interna. Elevazione (NE-SW, min. med. max.) 546, 547, 548 m s.l.m. Terreno con vegetazione erbacea bassa e rada. Presenza di roccia affiorante, di macchia e di isolate querce. Il medesimo terreno è attraversato dal tracciato del Cavidotto 15, lungo 90 m circa. Non si osservano tracce o strutture archeologiche.	
	Stato del terreno		Visibilità di superficie
	<input type="checkbox"/> Arato <input type="checkbox"/> Pastura <input type="checkbox"/> Stoppie <input type="checkbox"/> Coltivato <input type="checkbox"/> Vegetazione erbacea <input type="checkbox"/> Vegetazione secca <input type="checkbox"/> Macchia, arbusteti mediterranei	<input type="checkbox"/> Piantagione <input type="checkbox"/> Bosco <input type="checkbox"/> Roccia <input type="checkbox"/> Strada asfaltata <input type="checkbox"/> Strada cementata <input type="checkbox"/> Strada sterrata <input type="checkbox"/> Stradello	<input type="checkbox"/> Visibilità 0_nulla permanente <input type="checkbox"/> Visibilità 0_nulla temporanea <input type="checkbox"/> Visibilità 1_bassa permanente <input type="checkbox"/> Visibilità 1_bassa temporanea <input type="checkbox"/> Visibilità 2_media <input type="checkbox"/> Visibilità 3_medio alta <input type="checkbox"/> Visibilità 4_alta
RCGE	Motivo	Verifica preventiva dell'interesse archeologico	
RCGM	Metodo	Sistematico	
RCGR	Ente responsabile	SABAP SS NU	
RCGA	Responsabile scientifico	Delussu, Fabrizio	
RCGZ	Note		
GE	Georeferenziazione		
GEL	Tipo di localizzazione	Localizzazione fisica	
GET	Tipo di georeferenziazione	Localizzazione puntuale	
GEP	Sistema di riferimento	EPSG 3003	
GECX	Coordinata x	1467891.801	
GECY	Coordinata y	4491787.339	
GECZ	Coordinata z	548	
GECS	Note	Coordinate del centroide	
GPT	Tecnica di georeferenziazione	Rilievo tramite GPS – Applicazioni GIS	
GPM	Metodo di posizionamento	Posizionamento esatto	
FTA	Documentazione fotografica		
			
<p>Figura 29. Area della SE di trasformazione Ittiri, PS211, vista verso NE.</p>		<p>Figura 30. Area della SE di trasformazione Ittiri, PS213, vista verso SSW.</p>	

UR 11		
RCG	Ricognizione archeologica	
RCGV	Denominazione ricognizione	Stazione di ampliamento (Ittiri) – Cavidotto 16
RCGD	Riferimento cronologico	Aprile 2022
RCGT	Situazione ambientale	L'area comprende due settori, con elevazione (NE-SW, min. med. max.) 542, 544, 545 m s.l.m.: un'area sub-pianeggiante interessata dalla piantumazione di alberi e da una copertura arborea bassa e rada; si rilevano accumuli di materiali litici; un'area in leggera pendenza attraversata da una strada asfaltata e da una strada sterrata. A ridosso delle strade si osservano macchia, arbusti e alberi. In un terreno simile a quello della prima area si sviluppa un breve tratto di cavidotto che raggiunge la SE di trasformazione di Ittiri. Altri due brevi tratti, non numerati, si congiungono, rispettivamente, al Cavidotto 14 e al Cavidotto 15, per i quali si rimanda alle rispettive schede. Non si osservano tracce o strutture archeologiche.
	Stato del terreno	
	<input type="checkbox"/> Arato <input type="checkbox"/> Pastura <input type="checkbox"/> Stoppie <input type="checkbox"/> Coltivato <input type="checkbox"/> Vegetazione erbacea <input type="checkbox"/> Vegetazione secca <input type="checkbox"/> Macchia, arbusteti mediterranei	<input type="checkbox"/> Piantagione <input type="checkbox"/> Bosco <input type="checkbox"/> Roccia <input type="checkbox"/> Strada asfaltata <input type="checkbox"/> Strada cementata <input type="checkbox"/> Strada sterrata <input type="checkbox"/> Stradello
RCGE	Motivo	Verifica preventiva dell'interesse archeologico
RCGM	Metodo	Sistematico
RCGR	Ente responsabile	SABAP SS_NU
RCGA	Responsabile scientifico	Delussu, Fabrizio
RCGZ	Note	
GE Georeferenziazione		
GEL	Tipo di localizzazione	Localizzazione fisica
GET	Tipo di georeferenziazione	Localizzazione puntuale
GEP	Sistema di riferimento	EPSG 3003
GECX	Coordinata x	1468016.915
GECY	Coordinata y	4491877.495
GECZ	Coordinata z	543
GECS	Note	Coordinate del centroide
GPT	Tecnica di georeferenziazione	Rilievo tramite GPS – Applicazioni GIS
GPM	Metodo di posizionamento	Posizionamento esatto
FTA Documentazione fotografica		



Figura 31. Area della Stazione di ampliamento, vista verso NE.

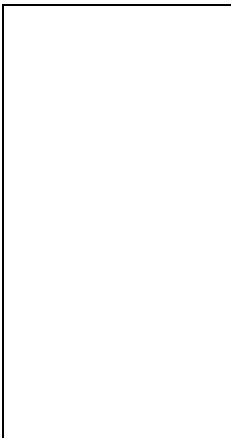


Figura 32. Area della Stazione di ampliamento, vista verso NE.

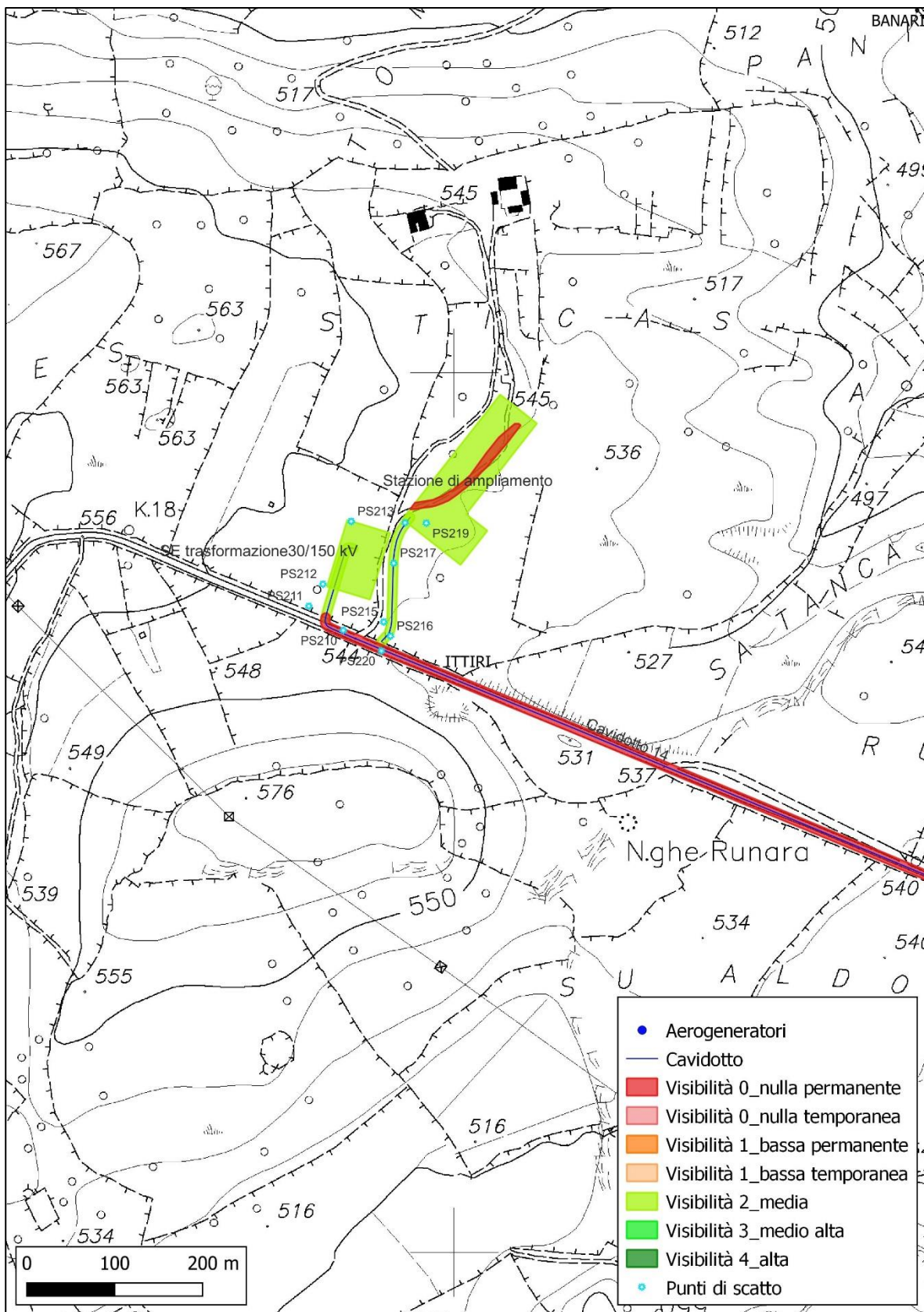




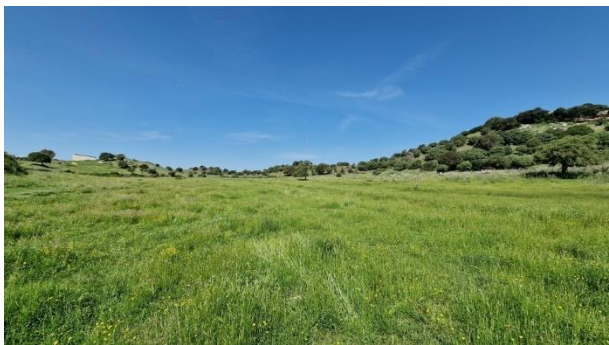







Figura 33. Area della SE Ittiri e della Stazione di ampliamento, stralcio della Carta della visibilità di superficie.



UR 12			
RCG	Ricognizione archeologica		
RCGV	Denominazione ricognizione	Area di cantiere	
RCGD	Riferimento cronologico	Maggio 2022	
RCGT	Situazione ambientale	Area pianeggiante localizzata a breve distanza dal tracciato del cavidotto (Cavidotto 4).). Elevazione (W-E, min. med. max.) 466, 467, 468 m s.l.m. Terreno con copertura erbacea di media altezza e uniforme. L'area è attraversata da una strada che conduce a una azienda agricola, ora in apparente stato di abbandono. Non si osservano tracce o strutture archeologiche.	
	Stato del terreno		Visibilità di superficie
	<input type="checkbox"/> Arato <input type="checkbox"/> Pastura <input type="checkbox"/> Stoppie <input type="checkbox"/> Coltivato <input type="checkbox"/> Vegetazione erbacea <input type="checkbox"/> Vegetazione secca <input type="checkbox"/> Macchia, arbusteti mediterranei	<input type="checkbox"/> Piantagione <input type="checkbox"/> Bosco <input type="checkbox"/> Roccia <input type="checkbox"/> Strada asfaltata <input type="checkbox"/> Strada cementata <input type="checkbox"/> Strada sterrata <input type="checkbox"/> Stradello	<input type="checkbox"/> Visibilità 0_nulla permanente <input type="checkbox"/> Visibilità 0_nulla temporanea <input type="checkbox"/> Visibilità 1_bassa permanente <input type="checkbox"/> Visibilità 1_bassa temporanea <input type="checkbox"/> Visibilità 2_media <input type="checkbox"/> Visibilità 3_medio alta <input type="checkbox"/> Visibilità 4_alta
RCGE	Motivo	Verifica preventiva dell'interesse archeologico	
RCGM	Metodo	Sistematico	
RCGR	Ente responsabile	SABAP SS NU	
RCGA	Responsabile scientifico	Delussu, Fabrizio	
RCGZ	Note		
GE	Georeferenziazione		
GEL	Tipo di localizzazione	Localizzazione fisica	
GET	Tipo di georeferenziazione	Localizzazione puntuale	
GEP	Sistema di riferimento	EPSG 3003	
GECX	Coordinata x	1466414.668	
GECY	Coordinata y	4486324.258	
GECZ	Coordinata z	468	
GECS	Note	Coordinate del centroide	
GPT	Tecnica di georeferenziazione	Rilievo tramite GPS – Applicazioni GIS	
GPM	Metodo di posizionamento	Posizionamento esatto	
FTA	Documentazione fotografica		
			
<p>Figura 34. Area di cantiere, PS 40, vista verso SW.</p>		<p>Figura 35. Area di cantiere, PS 41, vista verso NE.</p>	



UR 13			
RCG	Ricognizione archeologica		
RCGV	Denominazione ricognizione	Cavidotto 1	
RCGD	Riferimento cronologico	Maggio 2022	
RCGT	Situazione ambientale	Tracciato del cavidotto lungo 415 m circa che si diparte dalla strada asfaltata (SP28 bis) e raggiunge, attraverso una strada sterrata, l'area della turbina AG01. Non si osservano tracce archeologiche e non sono noti siti o contesti archeologici a ridosso di questo tracciato.	
	Stato del terreno		Visibilità di superficie
	<input type="checkbox"/> Arato <input type="checkbox"/> Pastura <input type="checkbox"/> Stoppie <input type="checkbox"/> Coltivato <input type="checkbox"/> Vegetazione erbacea <input type="checkbox"/> Vegetazione secca <input type="checkbox"/> Macchia, arbusteti mediterranei	<input type="checkbox"/> Piantagione <input type="checkbox"/> Bosco <input type="checkbox"/> Roccia <input type="checkbox"/> Strada asfaltata <input type="checkbox"/> Strada cementata <input type="checkbox"/> Strada sterrata <input type="checkbox"/> Stradello	<input type="checkbox"/> Visibilità 0_nulla permanente <input type="checkbox"/> Visibilità 0_nulla temporanea <input type="checkbox"/> Visibilità 1_bassa permanente <input type="checkbox"/> Visibilità 1_bassa temporanea <input type="checkbox"/> Visibilità 2_media <input type="checkbox"/> Visibilità 3_medio alta <input type="checkbox"/> Visibilità 4_alta
RCGE	Motivo	Verifica preventiva dell'interesse archeologico	
RCGM	Metodo	Sistematico	
RCGR	Ente responsabile	SABAP SS_NU	
RCGA	Responsabile scientifico	Delussu, Fabrizio	
RCGZ	Note		
GE	Georeferenziazione		
GEL	Tipo di localizzazione	Localizzazione fisica	
GET	Tipo di georeferenziazione	Localizzazione lineare	
GEP	Sistema di riferimento	EPSG 3003	
GECX	Coordinata x	1465710.479 - 1466039.338	
GECY	Coordinata y	4485277.093 - 4485479.562	
GECZ	Coordinata z		
GECS	Note	Coordinate inizio - fine UR	
GPT	Tecnica di georeferenziazione	Rilievo tramite GPS – Applicazioni GIS	
GPM	Metodo di posizionamento	Posizionamento esatto	
FTA	Documentazione fotografica		
 <p>Figura 36. Tracciato del cavidotto 1, PS 12, vista verso WSW.</p>		 <p>Figura 37. Tracciato del cavidotto 1, PS 13, vista verso SW.</p>	



UR 14			
RCG	Ricognizione archeologica		
RCGV	Denominazione ricognizione	Cavidotto 3	
RCGD	Riferimento cronologico	Maggio 2022	
RCGT	Situazione ambientale	Tracciato del cavidotto lungo 468 m circa che si diparte dalla strada asfaltata (SP28 bis) e raggiunge in campo aperto la turbina AG02. Terreno prevalentemente con copertura erbacea uniforme. Presenza di roccia affiorante nel tratto a ridosso dell'area della turbina. Il tracciato intercetta anche un muro a secco. Non si osservano tracce o strutture archeologiche.	
	Stato del terreno		Visibilità di superficie
	<input type="checkbox"/> Arato <input type="checkbox"/> Pastura <input type="checkbox"/> Stoppie <input type="checkbox"/> Coltivato <input type="checkbox"/> Vegetazione erbacea <input type="checkbox"/> Vegetazione secca <input type="checkbox"/> Macchia, arbusteti mediterranei	<input type="checkbox"/> Piantagione <input type="checkbox"/> Bosco <input type="checkbox"/> Roccia <input type="checkbox"/> Strada asfaltata <input type="checkbox"/> Strada cementata <input type="checkbox"/> Strada sterrata <input type="checkbox"/> Stradello	<input type="checkbox"/> Visibilità 0_nulla permanente <input type="checkbox"/> Visibilità 0_nulla temporanea <input type="checkbox"/> Visibilità 1_bassa permanente <input type="checkbox"/> Visibilità 1_bassa temporanea <input type="checkbox"/> Visibilità 2_media <input type="checkbox"/> Visibilità 3_medio alta <input type="checkbox"/> Visibilità 4_alta
RCGE	Motivo	Verifica preventiva dell'interesse archeologico	
RCGM	Metodo	Sistematico	
RCGR	Ente responsabile	SABAP SS NU	
RCGA	Responsabile scientifico	Delussu, Fabrizio	
RCGZ	Note		
GE	Georeferenziazione		
GEL	Tipo di localizzazione	Localizzazione fisica	
GET	Tipo di georeferenziazione	Localizzazione lineare	
GEP	Sistema di riferimento	EPSG 3003	
GECX	Coordinata x	1465788.102 - 1466229.427	
GECY	Coordinata y	4485981.495 - 4485838.195	
GECZ	Coordinata z		
GECS	Note	Coordinate inizio - fine UR	
GPT	Tecnica di georeferenziazione	Rilievo tramite GPS – Applicazioni GIS	
GPM	Metodo di posizionamento	Posizionamento esatto	
FTA	Documentazione fotografica		
			
<p>Figura 38. Tracciato del cavidotto 3, PS 26, vista verso NW.</p>		<p>Figura 39. Tracciato del cavidotto 3, PS 28, vista verso N.</p>	


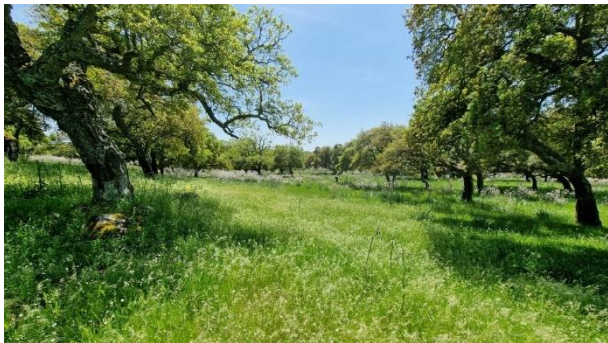
UR 15			
	RCG	Ricognizione archeologica	
	RCGV	Denominazione ricognizione	Cavidotto 4
	RCGD	Riferimento cronologico	Maggio 2022
	RCGT	Situazione ambientale	Tracciato del cavidotto lungo 417 m circa che si diparte dalla strada asfaltata (SP28 bis) e raggiunge in campo aperto la turbina AG03. Terreno con copertura erbacea uniforme e piante in crescita, con addensamenti localizzati di asfodeli. Presenza di alberi e arbusti. Non si osservano tracce o strutture archeologiche.
		Stato del terreno	Visibilità di superficie
		<input type="checkbox"/> Arato <input type="checkbox"/> Pastura <input type="checkbox"/> Stoppie <input type="checkbox"/> Coltivato <input type="checkbox"/> Vegetazione erbacea <input type="checkbox"/> Vegetazione secca <input type="checkbox"/> Macchia, arbusteti mediterranei	<input type="checkbox"/> Visibilità 0_nulla permanente <input type="checkbox"/> Visibilità 0_nulla temporanea <input type="checkbox"/> Visibilità 1_bassa permanente <input type="checkbox"/> Visibilità 1_bassa temporanea <input type="checkbox"/> Visibilità 2_media <input type="checkbox"/> Visibilità 3_medio alta <input type="checkbox"/> Visibilità 4_alta
	RCGE	Motivo	Verifica preventiva dell'interesse archeologico
	RCGM	Metodo	Sistematico
	RCGR	Ente responsabile	SABAP SS_NU
	RCGA	Responsabile scientifico	Delussu, Fabrizio
	RCGZ	Note	
	GE	Georeferenziazione	
	GEL	Tipo di localizzazione	Localizzazione fisica
	GET	Tipo di georeferenziazione	Localizzazione lineare
	GEP	Sistema di riferimento	EPSG 3003
	GECX	Coordinata x	1466041.374 - 1466454.539
	GECY	Coordinata y	4486411.904 - 4486383.363
	GECZ	Coordinata z	
	GECS	Note	Coordinate inizio - fine UR
	GPT	Tecnica di georeferenziazione	Rilievo tramite GPS – Applicazioni GIS
	GPM	Metodo di posizionamento	Posizionamento esatto
	FTA	Documentazione fotografica	
		 <p>Figure 40. Tracciato del cavidotto 4, PS 42, vista verso W.</p>	 <p>Figure 41. Tracciato del cavidotto 4, PS 43, vista verso W.</p>



UR 16			
	RCG	Ricognizione archeologica	
	RCGV	Denominazione ricognizione	Cavidotto 5
	RCGD	Riferimento cronologico	Maggio 2022
	RCGT	Situazione ambientale	Tracciato del cavidotto lungo 409 m circa che si diparte dalla strada asfaltata (Strada Provinciale Monte Fenosu, N. 134) e raggiunge in campo aperto la turbina AG04. Terreno paludoso con copertura erbacea uniforme (tratto di fondovalle), arbusti, alberi e roccia affiorante (tratto sommitale). Non si osservano tracce o strutture archeologiche.
		Stato del terreno	Visibilità di superficie
		<input type="checkbox"/> Arato <input type="checkbox"/> Pastura <input type="checkbox"/> Stoppie <input type="checkbox"/> Coltivato <input type="checkbox"/> Vegetazione erbacea <input type="checkbox"/> Vegetazione secca <input type="checkbox"/> Macchia, arbusteti mediterranei	<input type="checkbox"/> Visibilità 0_nulla permanente <input type="checkbox"/> Visibilità 0_nulla temporanea <input type="checkbox"/> Visibilità 1_bassa permanente <input type="checkbox"/> Visibilità 1_bassa temporanea <input type="checkbox"/> Visibilità 2_media <input type="checkbox"/> Visibilità 3_medio alta <input type="checkbox"/> Visibilità 4_alta
	RCGE	Motivo	Verifica preventiva dell'interesse archeologico
	RCGM	Metodo	Sistematico
	RCGR	Ente responsabile	SABAP SS NU
	RCGA	Responsabile scientifico	Delussu, Fabrizio
	RCGZ	Note	
	GE	Georeferenziazione	
	GEL	Tipo di localizzazione	Localizzazione fisica
	GET	Tipo di georeferenziazione	Localizzazione lineare
	GEP	Sistema di riferimento	EPSG 3003
	GECX	Coordinata x	1468539.545 - 1468814.360
	GECY	Coordinata y	4486076.646 - 4486366.295
	GECZ	Coordinata z	
	GECS	Note	Coordinate inizio - fine UR
	GPT	Tecnica di georeferenziazione	Rilievo tramite GPS – Applicazioni GIS
	GPM	Metodo di posizionamento	Posizionamento esatto
	FTA	Documentazione fotografica	
			
		<p>Figura 42. Tracciato del cavidotto 5, PS 49, vista verso NE.</p>	<p>Figura 43. Tracciato del cavidotto 5, PS 50, vista verso SW.</p>



UR 17			
RCG	Ricognizione archeologica		
RCGV	Denominazione ricognizione	Cavidotto 6	
RCGD	Riferimento cronologico	Maggio 2022	
RCGT	Situazione ambientale	Tracciato del cavidotto ricadente per 862 m su una strada sterrata che si diparte dalla strada asfaltata (SP 134). Non si osservano tracce archeologiche e non sono noti siti o contesti archeologici a ridosso di questo tracciato.	
	Stato del terreno		Visibilità di superficie
	<input type="checkbox"/> Arato <input type="checkbox"/> Pastura <input type="checkbox"/> Stoppie <input type="checkbox"/> Coltivato <input type="checkbox"/> Vegetazione erbacea <input type="checkbox"/> Vegetazione secca <input type="checkbox"/> Macchia, arbusteti mediterranei	<input type="checkbox"/> Piantagione <input type="checkbox"/> Bosco <input type="checkbox"/> Roccia <input type="checkbox"/> Strada asfaltata <input type="checkbox"/> Strada cementata <input type="checkbox"/> Strada sterrata <input type="checkbox"/> Stradello	<input type="checkbox"/> Visibilità 0_nulla permanente <input type="checkbox"/> Visibilità 0_nulla temporanea <input type="checkbox"/> Visibilità 1_bassa permanente <input type="checkbox"/> Visibilità 1_bassa temporanea <input type="checkbox"/> Visibilità 2_media <input type="checkbox"/> Visibilità 3_medio alta <input type="checkbox"/> Visibilità 4_alta
RCGE	Motivo	Verifica preventiva dell'interesse archeologico	
RCGM	Metodo	Sistematico	
RCGR	Ente responsabile	SABAP SS_NU	
RCGA	Responsabile scientifico	Delussu, Fabrizio	
RCGZ	Note		
GE	Georeferenziazione		
GEL	Tipo di localizzazione	Localizzazione fisica	
GET	Tipo di georeferenziazione	Localizzazione lineare	
GEP	Sistema di riferimento	EPSG 3003	
GECX	Coordinata x	1470714.581 - 1470745.566	
GECY	Coordinata y	4487618.507 - 4486929.087	
GECZ	Coordinata z		
GECS	Note	Coordinate inizio - fine UR	
GPT	Tecnica di georeferenziazione	Rilievo tramite GPS – Applicazioni GIS	
GPM	Metodo di posizionamento	Posizionamento esatto	
FTA	Documentazione fotografica		
			
<p>Figura 44. Tracciato del cavidotto 6, PS 93, vista verso NE.</p>		<p>Figura 45. Tracciato del cavidotto 6, PS 99, vista verso W.</p>	



UR 18		
RCG	Ricognizione archeologica	
RCGV	Denominazione ricognizione	Cavidotto 7
RCGD	Riferimento cronologico	Maggio 2022
RCGT	Situazione ambientale	Tracciato del cavidotto lungo 585 m circa che si diparte dalla strada sterrata che conduce a un'azienda agricola e raggiunge in campo aperto la turbina AG05. Dopo la deviazione dalla strada sterrata, il tracciato attraversa un'area scoscesa con roccia affiorante, alberi e arbusti. Raggiunta l'area pianeggiante, il tracciato percorre un terreno acquitrinoso con copertura erbacea uniforme e aree boschive localizzate. Non si osservano tracce o strutture archeologiche.
	Stato del terreno	
	<input type="checkbox"/> Arato <input type="checkbox"/> Pastura <input type="checkbox"/> Stoppie <input type="checkbox"/> Coltivato <input type="checkbox"/> Vegetazione erbacea <input type="checkbox"/> Vegetazione secca <input type="checkbox"/> Macchia, arbusteti mediterranei	<input type="checkbox"/> Piantagione <input type="checkbox"/> Bosco <input type="checkbox"/> Roccia <input type="checkbox"/> Strada asfaltata <input type="checkbox"/> Strada cementata <input type="checkbox"/> Strada sterrata <input type="checkbox"/> Stradello
		Visibilità di superficie
		<input type="checkbox"/> Visibilità 0_nulla permanente <input type="checkbox"/> Visibilità 0_nulla temporanea <input type="checkbox"/> Visibilità 1_bassa permanente <input type="checkbox"/> Visibilità 1_bassa temporanea <input type="checkbox"/> Visibilità 2_media <input type="checkbox"/> Visibilità 3_medio alta <input type="checkbox"/> Visibilità 4_alta
RCGE	Motivo	Verifica preventiva dell'interesse archeologico
RCGM	Metodo	Sistematico
RCGR	Ente responsabile	SABAP SS_NU
RCGA	Responsabile scientifico	Delussu, Fabrizio
RCGZ	Note	
GE Georeferenziazione		
GEL	Tipo di localizzazione	Localizzazione fisica
GET	Tipo di georeferenziazione	Localizzazione lineare
GEP	Sistema di riferimento	EPSG 3003
GECX	Coordinata x	1470198.675 - 1470714.607
GECY	Coordinata y	4487784.675 - 4487618.507
GECZ	Coordinata z	
GECS	Note	Coordinate inizio - fine UR
GPT	Tecnica di georeferenziazione	Rilievo tramite GPS – Applicazioni GIS
GPM	Metodo di posizionamento	Posizionamento esatto
FTA Documentazione fotografica		
		
<p>Figura 46. Tracciato del cavidotto 7, PS 130, vista verso NW.</p>		<p>Figura 47. Tracciato del cavidotto 7, PS 103, vista verso NW.</p>



UR 19			
RCG	Ricognizione archeologica		
RCGV	Denominazione ricognizione	Cavidotto 8 a	
RCGD	Riferimento cronologico	Maggio 2022	
RCGT	Situazione ambientale	Tracciato del cavidotto ricadente per 367 m su una strada sterrata che si diparte dalla strada asfaltata (SP 134) e conduce all'interno di una azienda agricola. Non si osservano tracce archeologiche e non sono noti siti o contesti archeologici a ridosso di questo tracciato.	
	Stato del terreno		Visibilità di superficie
	<input type="checkbox"/> Arato <input type="checkbox"/> Pastura <input type="checkbox"/> Stoppie <input type="checkbox"/> Coltivato <input type="checkbox"/> Vegetazione erbacea <input type="checkbox"/> Vegetazione secca <input type="checkbox"/> Macchia, arbusteti mediterranei	<input type="checkbox"/> Piantagione <input type="checkbox"/> Bosco <input type="checkbox"/> Roccia <input type="checkbox"/> Strada asfaltata <input type="checkbox"/> Strada cementata <input type="checkbox"/> Strada sterrata <input type="checkbox"/> Stradello	<input type="checkbox"/> Visibilità 0_nulla permanente <input type="checkbox"/> Visibilità 0_nulla temporanea <input type="checkbox"/> Visibilità 1_bassa permanente <input type="checkbox"/> Visibilità 1_bassa temporanea <input type="checkbox"/> Visibilità 2_media <input type="checkbox"/> Visibilità 3_medio alta <input type="checkbox"/> Visibilità 4_alta
RCGE	Motivo	Verifica preventiva dell'interesse archeologico	
RCGM	Metodo	Sistematico	
RCGR	Ente responsabile	SABAP SS_NU	
RCGA	Responsabile scientifico	Delussu, Fabrizio	
RCGZ	Note		
GE	Georeferenziazione		
GEL	Tipo di localizzazione	Localizzazione fisica	
GET	Tipo di georeferenziazione	Localizzazione lineare	
GEP	Sistema di riferimento	EPSG 3003	
GECX	Coordinata x	1470116.130 - 1470233.737	
GECY	Coordinata y	4486538.788 - 4486233.195	
GECZ	Coordinata z		
GECS	Note	Coordinate inizio - fine UR	
GPT	Tecnica di georeferenziazione	Rilievo tramite GPS – Applicazioni GIS	
GPM	Metodo di posizionamento	Posizionamento esatto	
FTA	Documentazione fotografica		
 <p>Figura 48. Tracciato del cavidotto 8 a, PS 62, vista verso S.</p>		 <p>Figura 49. Tracciato del cavidotto 8 a, PS 63, vista verso SE.</p>	

UR 20			
RCG	Ricognizione archeologica		
RCGV	Denominazione ricognizione	Cavidotto 8 b	
RCGD	Riferimento cronologico	Maggio 2022	
RCGT	Situazione ambientale	Tracciato di cavidotto che dalla strada sterrata, nelle immediate vicinanze di un'azienda agricola, si sviluppa per 528 m in campo aperto fino alla turbina AG06. Terreno con vegetazione uniforme, medio bassa, e arbusti localizzati, su area boschiva. Il tracciato intercetta roccia affiorante e un muro a secco a ridosso della turbina AG06. Non si osservano tracce o strutture archeologiche.	
	Stato del terreno		Visibilità di superficie
	<input type="checkbox"/> Arato <input type="checkbox"/> Pastura <input type="checkbox"/> Stoppie <input type="checkbox"/> Coltivato <input type="checkbox"/> Vegetazione erbacea <input type="checkbox"/> Vegetazione secca <input type="checkbox"/> Macchia, arbusteti mediterranei	<input type="checkbox"/> Piantagione <input type="checkbox"/> Bosco <input type="checkbox"/> Roccia <input type="checkbox"/> Strada asfaltata <input type="checkbox"/> Strada cementata <input type="checkbox"/> Strada sterrata <input type="checkbox"/> Stradello	<input type="checkbox"/> Visibilità 0_nulla permanente <input type="checkbox"/> Visibilità 0_nulla temporanea <input type="checkbox"/> Visibilità 1_bassa permanente <input type="checkbox"/> Visibilità 1_bassa temporanea <input type="checkbox"/> Visibilità 2_media <input type="checkbox"/> Visibilità 3_medio alta <input type="checkbox"/> Visibilità 4_alta
RCGE	Motivo	Verifica preventiva dell'interesse archeologico	
RCGM	Metodo	Sistematico	
RCGR	Ente responsabile	SABAP SS NU	
RCGA	Responsabile scientifico	Delussu, Fabrizio	
RCGZ	Note		
GE	Georeferenziazione		
GEL	Tipo di localizzazione	Localizzazione fisica	
GET	Tipo di georeferenziazione	Localizzazione lineare	
GEP	Sistema di riferimento	EPSG 3003	
GECX	Coordinata x	1470233.708 - 1470392.255	
GECY	Coordinata y	4486233.264 - 4485754.859	
GECZ	Coordinata z		
GECS	Note	Coordinate inizio - fine UR	
GPT	Tecnica di georeferenziazione	Rilievo tramite GPS – Applicazioni GIS	
GPM	Metodo di posizionamento	Posizionamento esatto	
FTA	Documentazione fotografica		
 <p>Figura 50. Tracciato del cavidotto 8 b, PS 65, vista verso SW.</p>		 <p>Figura 51. Tracciato del cavidotto 8 b, PS 66, vista verso S.</p>	

UR 21			
RCG	Ricognizione archeologica		
RCGV	Denominazione ricognizione	Cavidotto 10	
RCGD	Riferimento cronologico	Maggio 2022	
RCGT	Situazione ambientale	Tracciato del cavidotto lungo 445 m circa che dalla SP 134 raggiunge la turbina AG08. Il primo tratto del cavidotto costeggia un muro a secco che delimita una strada di penetrazione agraria poi si sviluppa in campo aperto, intercettando anche muri a secco. Terreno con copertura vegetale bassa e uniforme. Presenza localizzata di alberi e arbusti. Non si osservano tracce o strutture archeologiche.	
	Stato del terreno		Visibilità di superficie
	<input type="checkbox"/> Arato <input type="checkbox"/> Pastura <input type="checkbox"/> Stoppie <input type="checkbox"/> Coltivato <input type="checkbox"/> Vegetazione erbacea <input type="checkbox"/> Vegetazione secca <input type="checkbox"/> Macchia, arbusteti mediterranei	<input type="checkbox"/> Piantagione <input type="checkbox"/> Bosco <input type="checkbox"/> Roccia <input type="checkbox"/> Strada asfaltata <input type="checkbox"/> Strada cementata <input type="checkbox"/> Strada sterrata <input type="checkbox"/> Stradello	<input type="checkbox"/> Visibilità 0_nulla permanente <input type="checkbox"/> Visibilità 0_nulla temporanea <input type="checkbox"/> Visibilità 1_bassa permanente <input type="checkbox"/> Visibilità 1_bassa temporanea <input type="checkbox"/> Visibilità 2_media <input type="checkbox"/> Visibilità 3_medio alta <input type="checkbox"/> Visibilità 4_alta
RCGE	Motivo	Verifica preventiva dell'interesse archeologico	
RCGM	Metodo	Sistematico	
RCGR	Ente responsabile	SABAP SS NU	
RCGA	Responsabile scientifico	Delussu, Fabrizio	
RCGZ	Note		
GE	Georeferenziazione		
GEL	Tipo di localizzazione	Localizzazione fisica	
GET	Tipo di georeferenziazione	Localizzazione lineare	
GEP	Sistema di riferimento	EPSG 3003	
GECX	Coordinata x	1471308.135 - 1471097.700	
GECY	Coordinata y	4487188.337 - 4486806.146	
GECZ	Coordinata z		
GECS	Note	Coordinate inizio - fine UR	
GPT	Tecnica di georeferenziazione	Rilievo tramite GPS – Applicazioni GIS	
GPM	Metodo di posizionamento	Posizionamento esatto	
FTA	Documentazione fotografica		
 <p>Figura 52. Tracciato del cavidotto 10, PS 138, vista verso NE.</p>		 <p>Figura 53. Tracciato del cavidotto 10, PS 139, vista verso SW.</p>	

UR 22			
RCG	Ricognizione archeologica		
RCGV	Denominazione ricognizione	Cavidotto 12	
RCGD	Riferimento cronologico	Maggio 2022	
RCGT	Situazione ambientale	Tracciato di cavidotto che segue per 8,8 km la strada asfaltata, prima la SP 28 bis poi la SP 134, dal quale si dipartono tutte le diramazioni che portano agli aerogeneratori. Non si osservano tracce archeologiche e non sono noti siti o contesti archeologici a ridosso di questo tracciato.	
	Stato del terreno		Visibilità di superficie
	<input type="checkbox"/> Arato <input type="checkbox"/> Pastura <input type="checkbox"/> Stoppie <input type="checkbox"/> Coltivato <input type="checkbox"/> Vegetazione erbacea <input type="checkbox"/> Vegetazione secca <input type="checkbox"/> Macchia, arbusteti mediterranei	<input type="checkbox"/> Piantagione <input type="checkbox"/> Bosco <input type="checkbox"/> Roccia <input type="checkbox"/> Strada asfaltata <input type="checkbox"/> Strada cementata <input type="checkbox"/> Strada sterrata <input type="checkbox"/> Stradello	<input type="checkbox"/> Visibilità 0_nulla permanente <input type="checkbox"/> Visibilità 0_nulla temporanea <input type="checkbox"/> Visibilità 1_bassa permanente <input type="checkbox"/> Visibilità 1_bassa temporanea <input type="checkbox"/> Visibilità 2_media <input type="checkbox"/> Visibilità 3_medio alta <input type="checkbox"/> Visibilità 4_alta
RCGE	Motivo	Verifica preventiva dell'interesse archeologico	
RCGM	Metodo	Sistematico	
RCGR	Ente responsabile	SABAP SS_NU	
RCGA	Responsabile scientifico	Delussu, Fabrizio	
RCGZ	Note		
GE	Georeferenziazione		
GEL	Tipo di localizzazione	Localizzazione fisica	
GET	Tipo di georeferenziazione	Localizzazione lineare	
GEP	Sistema di riferimento	EPSG 3003	
GECX	Coordinata x	1466039.340 - 1472792.524	
GECY	Coordinata y	4485479.564 - 4485460.817	
GECZ	Coordinata z		
GECS	Note	Coordinate inizio - fine UR	
GPT	Tecnica di georeferenziazione	Rilievo tramite GPS – Applicazioni GIS	
GPM	Metodo di posizionamento	Posizionamento esatto	
FTA	Documentazione fotografica		
			
<p>Figura 54. Tracciato del cavidotto 12, PS9, vista verso W.</p>		<p>Figura 55. Tracciato del cavidotto 12, PS10, vista verso S.</p>	

UR 23			
RCG	Ricognizione archeologica		
RCGV	Denominazione ricognizione	Cavidotto 13	
RCGD	Riferimento cronologico	Maggio 2022	
RCGT	Situazione ambientale	Tracciato di cavidotto che unisce i tratti 12 e 14 e si sviluppa per 831 m circa lungo una strada sterrata. La strada presenta tratti di acciottolato e basolato irregolare, verosimilmente ascrivibili alla fine del XIX – prima metà del XX secolo. Non si osservano tracce archeologiche e non sono noti siti o contesti archeologici a ridosso di questo tracciato.	
	Stato del terreno		Visibilità di superficie
	<input type="checkbox"/> Arato <input type="checkbox"/> Pastura <input type="checkbox"/> Stoppie <input type="checkbox"/> Coltivato <input type="checkbox"/> Vegetazione erbacea <input type="checkbox"/> Vegetazione secca <input type="checkbox"/> Macchia, arbusteti mediterranei	<input type="checkbox"/> Piantagione <input type="checkbox"/> Bosco <input type="checkbox"/> Roccia <input type="checkbox"/> Strada asfaltata <input type="checkbox"/> Strada cementata <input type="checkbox"/> Strada sterrata <input type="checkbox"/> Stradello	<input type="checkbox"/> Visibilità 0_nulla permanente <input type="checkbox"/> Visibilità 0_nulla temporanea <input type="checkbox"/> Visibilità 1_bassa permanente <input type="checkbox"/> Visibilità 1_bassa temporanea <input type="checkbox"/> Visibilità 2_media <input type="checkbox"/> Visibilità 3_medio alta <input type="checkbox"/> Visibilità 4_alta
RCGE	Motivo	Verifica preventiva dell'interesse archeologico	
RCGM	Metodo	Sistematico	
RCGR	Ente responsabile	SABAP SS NU	
RCGA	Responsabile scientifico	Delussu, Fabrizio	
RCGZ	Note		
GE	Georeferenziazione		
GEL	Tipo di localizzazione	Localizzazione fisica	
GET	Tipo di georeferenziazione	Localizzazione areale	
GEP	Sistema di riferimento	EPSG 3003	
GECX	Coordinata x	1473311.936 - 1472792.509	
GECY	Coordinata y	4486000.522 - 4485460.795	
GECZ	Coordinata z	Coordinate inizio - fine UR	
GECS	Note	Coordinate del centroide	
GPT	Tecnica di georeferenziazione	Rilievo tramite GPS – Applicazioni GIS	
GPM	Metodo di posizionamento	Posizionamento esatto	
FTA	Documentazione fotografica		
			
<p>Figura 56. Tracciato del cavidotto 13, PS 3, vista verso SW.</p>		<p>Figura 57. Tracciato del cavidotto 13, PS 6, vista verso S.</p>	

UR 24			
	RCG	Ricognizione archeologica	
	RCGV	Denominazione ricognizione	Cavidotto 14
	RCGD	Riferimento cronologico	Maggio 2022
	RCGT	Situazione ambientale	Tracciato di cavidotto che segue per 9,6 km la strada asfaltata, la Strada Statale 131 bis, e raggiunge la Stazione Elettrica di trasformazione di Ittiri. Non si osservano tracce archeologiche e non sono noti siti o contesti archeologici a ridosso di questo tracciato.
		Stato del terreno	
		<input type="checkbox"/> Arato <input type="checkbox"/> Pastura <input type="checkbox"/> Stoppie <input type="checkbox"/> Coltivato <input type="checkbox"/> Vegetazione erbacea <input type="checkbox"/> Vegetazione secca <input type="checkbox"/> Macchia, arbusteti mediterranei	<input type="checkbox"/> Piantagione <input type="checkbox"/> Bosco <input type="checkbox"/> Roccia <input type="checkbox"/> Strada asfaltata <input type="checkbox"/> Strada cementata <input type="checkbox"/> Strada sterrata <input type="checkbox"/> Stradello
	RCGE	Motivo	Verifica preventiva dell'interesse archeologico
	RCGM	Metodo	Sistematico
	RCGR	Ente responsabile	SABAP SS_NU
	RCGA	Responsabile scientifico	Delussu, Fabrizio
	RCGZ	Note	
	GE	Georeferenziazione	
	GEL	Tipo di localizzazione	Localizzazione fisica
	GET	Tipo di georeferenziazione	Localizzazione lineare
	GEP	Sistema di riferimento	EPSG 3003
	GECX	Coordinata x	1473311.316 - 1467854.113
	GECY	Coordinata y	4486001.140 - 4491721.648
	GECZ	Coordinata z	
	GECS	Note	Coordinate inizio - fine UR
	GPT	Tecnica di georeferenziazione	Rilievo tramite GPS – Applicazioni GIS
	GPM	Metodo di posizionamento	Posizionamento esatto
	FTA	Documentazione fotografica	
			
	<p>Figura 58. Tracciato del cavidotto 14, PS 2, vista verso NW.</p>		<p>Figura 59. Tracciato del cavidotto 14 presso la Stazione Terna, vista verso SE.</p>

9. Valutazione del potenziale archeologico

9.1. Nota metodologica

La verifica preventiva dell'interesse archeologico ha come finalità la valutazione dell'impatto delle opere in progetto sui beni e/o sui contesti archeologici, la preservazione dei depositi archeologici conservati nel sottosuolo, la rapida esecuzione delle opere, evitando ritardi e levitazione dei costi.

La procedura, prevista dall'art. 25 del Codice dei contratti pubblici, è disciplinata dalla Circolare n. 1 e allegati 1-4 del 20 gennaio 2016 della Direzione generale Archeologia.

Lo studio produce come risultato finale la Carta del potenziale archeologico che rappresenta il grado di potenziale archeologico dell'area in esame, ovvero il livello di probabilità che in essa sia conservata una stratificazione archeologica.

Per la stima del grado di potenziale archeologico è stata utilizzata la Tavola dei gradi di potenziale archeologico (Circolare 1/2016, all. 3) che prevede una scala dei valori da 0 a 10 (Tabella 2).

Scala dei valori	Grado di potenziale archeologico	Grado di rischio per il progetto
0	Nulla	Nessun rischio
1	Improbabile	Rischio inconsistente
2	Molto basso	Rischio molto basso
3	Basso	Rischio basso
4	Non determinabile	Rischio medio
5	Indiziato da elementi documentari oggettivi	Rischio medio
6	Indiziato da dati topografici e da osservazioni remote	Rischio medio
7	Indiziato da ritrovamenti materiali localizzati	Rischio medio-alto
8	Indiziato da ritrovamenti diffusi	Rischio alto
9	Certo, non delimitato	Rischio esplicito
10	Certo, ben documentato e delimitato	Rischio esplicito

Tabella 2

9.2. Relazione conclusiva e Carta del potenziale archeologico

L'esame integrato dei dati desunti dalle fonti disponibili e dalle ricognizioni di superficie consente di stimare il grado di potenziale archeologico dell'area interessata dal progetto e permette la redazione della **Carta del potenziale archeologico** che illustra anche il **grado di rischio per il progetto**, utile per valutare le modalità di prosecuzione della progettazione (Circolare 1/2016, all. 3).

L'**area della turbina AG01** presenta un grado di potenziale archeologico uguale 1 (improbabile). In questo settore manca qualsiasi elemento indiziario all'esistenza di beni archeologici. Non sono attestati rinvenimenti sporadici. Il rischio per il progetto appare inconsistente (Fig. 60).

L'**area della turbina AG02** presenta un grado di potenziale archeologico uguale 1 (improbabile). In questo settore manca qualsiasi elemento indiziario all'esistenza di beni archeologici. Non sono attestati rinvenimenti sporadici. Il rischio per il progetto appare inconsistente (Fig. 60).

L'**area della turbina AG03** presenta un grado di potenziale archeologico uguale 1 (improbabile). In questo settore manca qualsiasi elemento indiziario all'esistenza di beni archeologici. Non sono attestati rinvenimenti sporadici. Il rischio per il progetto appare inconsistente (Fig. 60).

L'**area della turbina AG04** presenta un grado di potenziale archeologico uguale 1 (improbabile). In questo settore manca qualsiasi elemento indiziario all'esistenza di beni archeologici. Non sono attestati rinvenimenti sporadici. L'area in questione presenta settori acquitrinosi e rocciosi, poco adatti allo stanziamento umano. Il rischio per il progetto appare inconsistente (Fig. 61).

L'**area della turbina AG05** presenta un grado di potenziale archeologico uguale 1 (improbabile). In questo settore manca qualsiasi elemento indiziario all'esistenza di beni archeologici. Non sono attestati rinvenimenti sporadici. Peraltro, alcuni settori di quest'area si presentano paludosi e non sembrano adatti a forme di abitazione. Dall'esame delle fonti orali locali non emergono informazioni che documentino un possibile potenziale di tipo archeologico. Il rischio per il progetto appare inconsistente (Fig. 62).

L'**area della turbina AG06** presenta un grado di potenziale archeologico uguale 1 (improbabile). In questo settore manca qualsiasi elemento indiziario all'esistenza di beni archeologici. Non sono attestati rinvenimenti sporadici. Il rischio per il progetto appare inconsistente (Fig. 63).

L'**area della turbina AG07** presenta un grado di potenziale archeologico uguale 1 (improbabile). In questo settore manca qualsiasi elemento indiziario all'esistenza di beni archeologici. Non sono attestati rinvenimenti sporadici. L'area in questione presenta settori con roccia affiorante, poco adatti allo stanziamento umano. Il rischio per il progetto appare inconsistente (Fig. 63).

L'**area della turbina AG08** presenta un grado di potenziale archeologico uguale a 2 (molto basso). Quest'area appare interessata da attività agricole sub-recenti di tipo tradizionale ma non sussistono altre evidenze di tipo archeologico. Da fonti orali locali si apprende infatti che i terreni circostanti erano adibiti a vigneto fino alla metà del XX sec. Le vigne appartenevano alla famiglia Cherchi di Thiesi. Dalle stesse fonti si apprende che il rudere dell'edificio rustico rilevato in quest'area era funzionale alla produzione del vino. Attualmente non si rilevano tracce di vigneti e i terreni sono in stato di abbandono. Il rischio per il progetto si può considerare molto basso (Fig. 64).

L'**area della SE di trasformazione di Thiesi** presenta un grado di potenziale archeologico pari 1 (improbabile). Non sono attestati rinvenimenti sporadici. In questo settore manca qualsiasi elemento indiziario all'esistenza di beni archeologici. Il rischio per il progetto appare inconsistente (Fig. 63).

L'**area della SE di trasformazione di Ittiri** (stepup) presenta un grado di potenziale archeologico pari 1 (improbabile). Non sono attestati rinvenimenti sporadici. In questo settore manca qualsiasi elemento indiziario all'esistenza di beni archeologici. Il rischio per il progetto appare inconsistente (Fig. 65).

L'area della **Stazione di ampliamento**, progettata a ridosso della stazione Terna esistente, presenta un grado di potenziale archeologico variabile tra 0 (nullo) e 4 (non determinabile). Nei tratti ricognibili di quest'area manca qualsiasi elemento indiziario all'esistenza di beni archeologici. Il rischio per il progetto appare nullo mentre può convenzionalmente considerarsi medio nei settori nascosti dalla strada asfaltata (Fig. 65).

L'**area di cantiere** presenta un grado di potenziale archeologico uguale 1 (improbabile). In questo settore manca qualsiasi elemento indiziario all'esistenza di beni archeologici. Non sono attestati rinvenimenti sporadici. Il rischio per il progetto appare inconsistente (Fig. 60).

In merito al tracciato del **cavidotto** il grado di potenziale archeologico è prevalentemente uguale a 1 (improbabile), mentre quello relativo ai tracciati che si sviluppano lungo le strade asfaltate è definito convenzionalmente pari a 4 (non determinabile). In nessun caso il cavidotto intercetta siti o contesti archeologici noti dalle fonti.

La situazione è riassunta nella tabella seguente:

Tratti	Grado di potenziale archeologico		Grado di rischio per il progetto	
1	1 (Improbabile)		Inconsistente	
2	0 (Nulla)		(Nessuno)	
3	1 (Improbabile)		Inconsistente	
4	1 (Improbabile)		Inconsistente	
5	1 (Improbabile)		Inconsistente	
6	0 (Nulla)		(Nessuno)	
7	1 (Improbabile)		Inconsistente	
8 a	0 (Nulla)		(Nessuno)	
8 b	1 (Improbabile)		Inconsistente	
9	1 (Improbabile)		Inconsistente	
10	1 (Improbabile)	2 (Molto basso)	Inconsistente	Molto basso
11 a	1 (Improbabile)		Inconsistente	
11 b	1 (Improbabile)		Inconsistente	
12	4 (Non determinabile)		Medio	
13	1 (Improbabile)		Inconsistente	
14	4 (Non determinabile)		Medio	
15	1 (Improbabile)		Inconsistente	
16	0 (Nulla)		(Nessuno)	

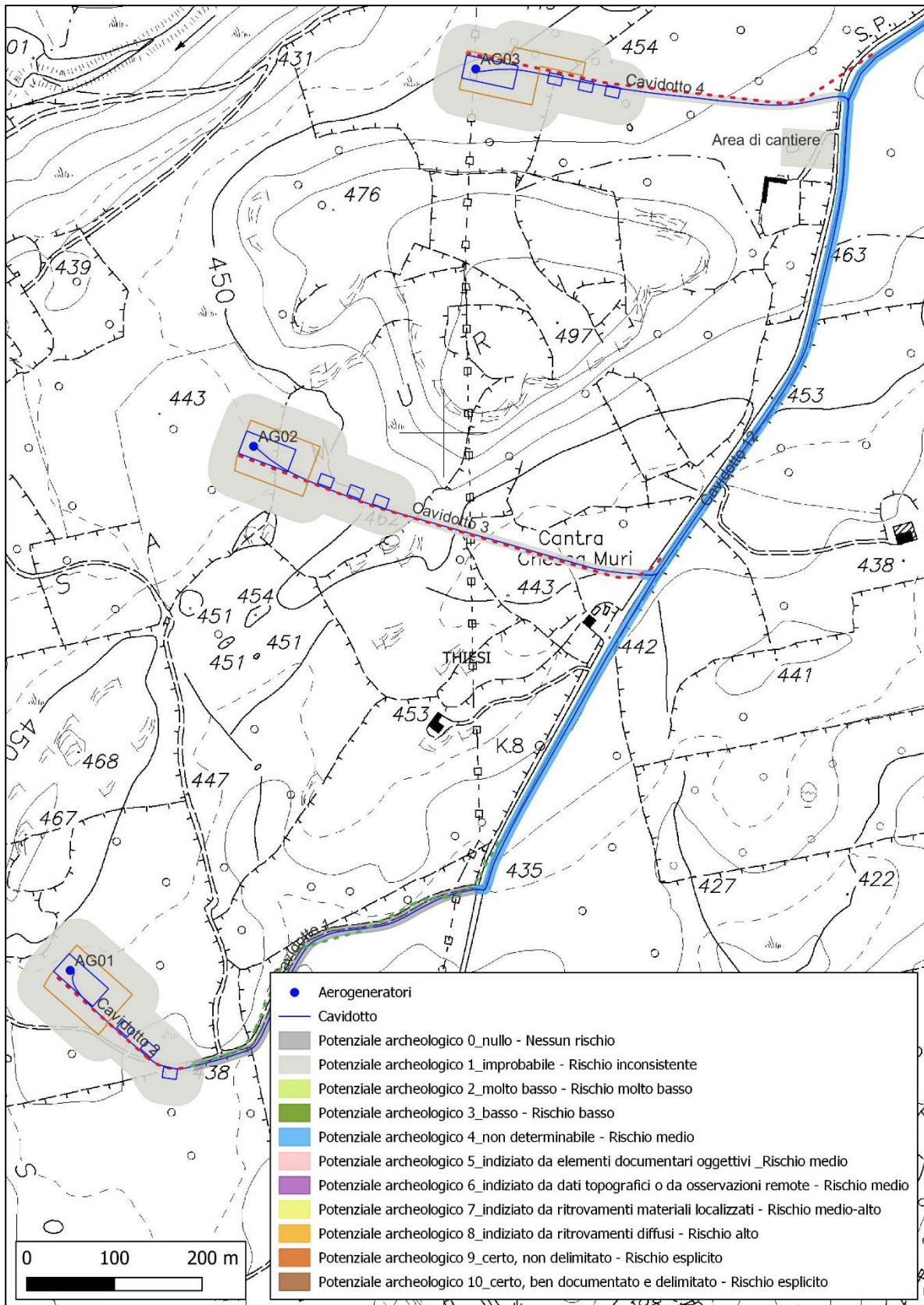


Figura 60. Settore degli aerogeneratori AG01, AG02 e AG03; stralcio della Carta del potenziale archeologico.

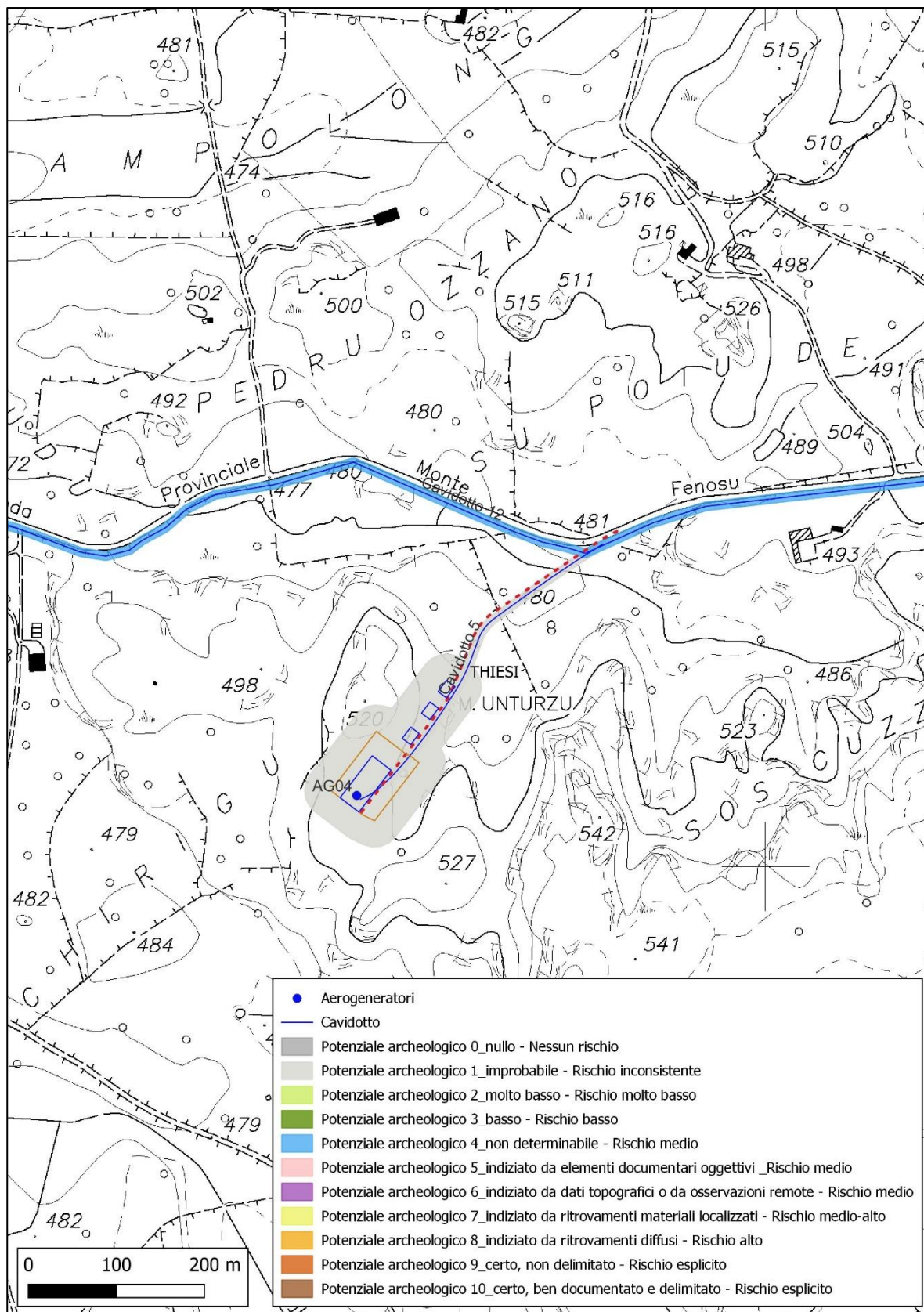


Figura 61. Area della turbina AG04, stralcio della Carta del potenziale archeologico.

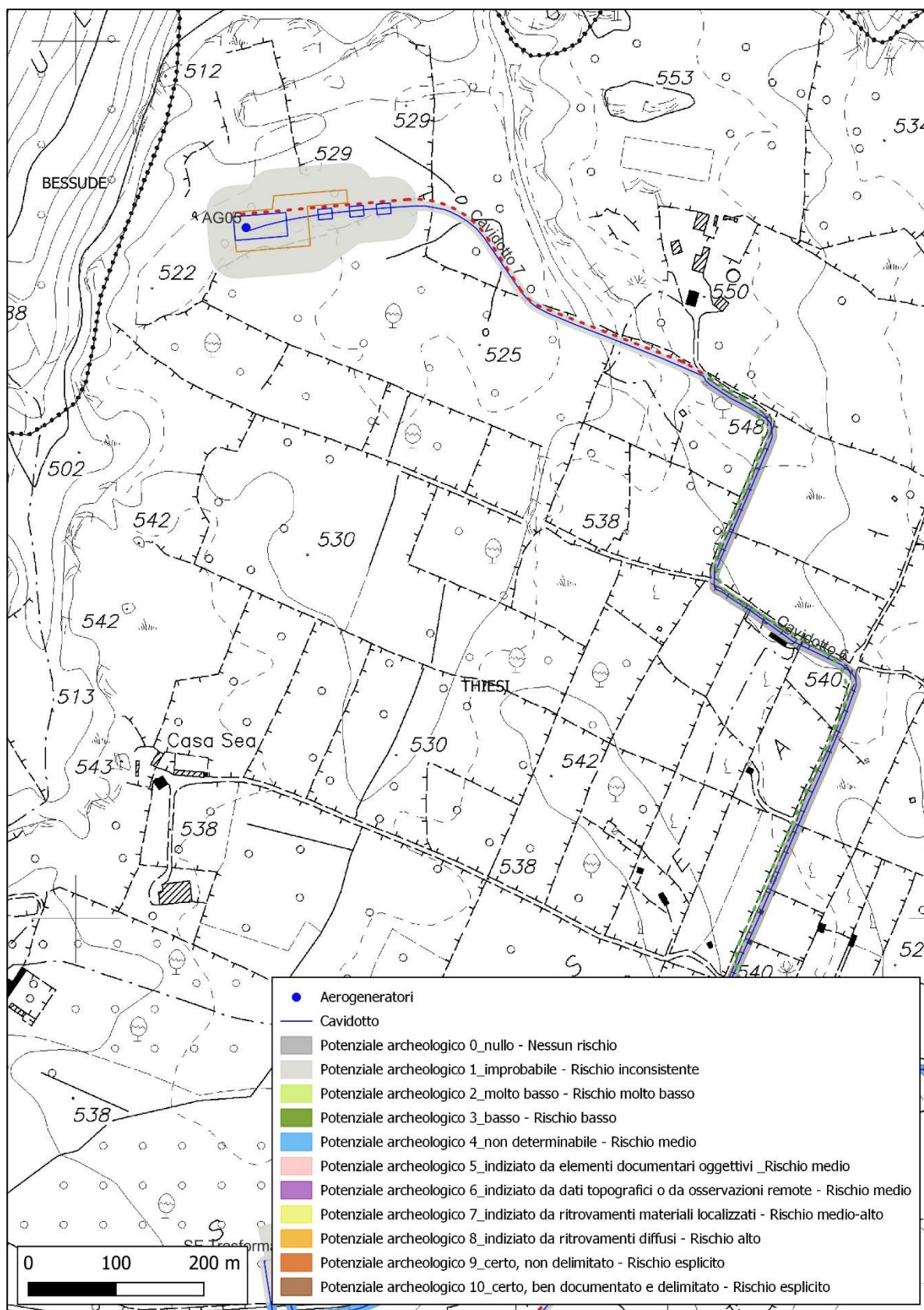


Figura 62. Area della turbina AG05, stralcio della Carta del potenziale archeologico.

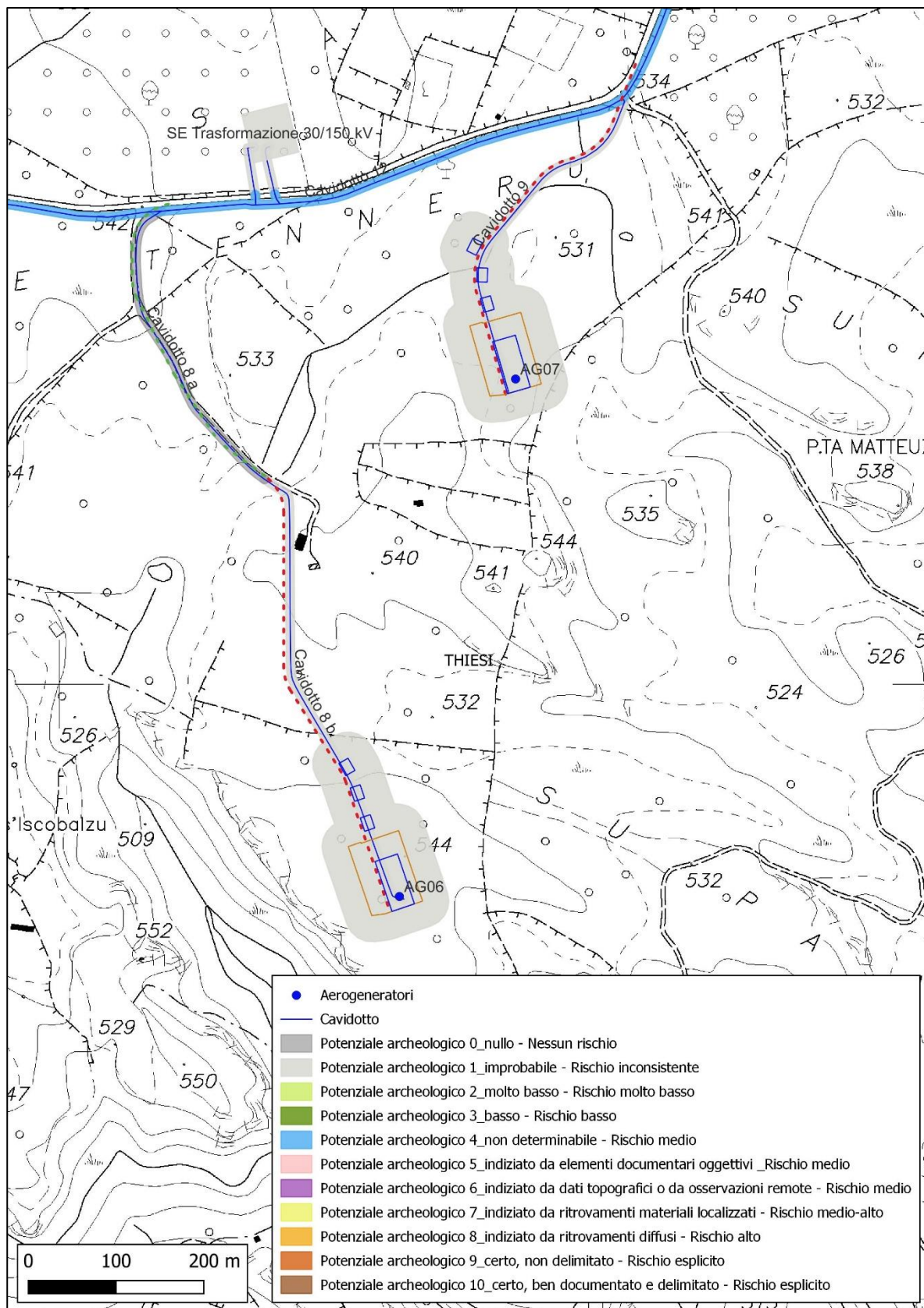


Figura 63. Settore delle turbine AG06, AG07 e della SE Thiesi; stralcio della Carta del potenziale archeologico.

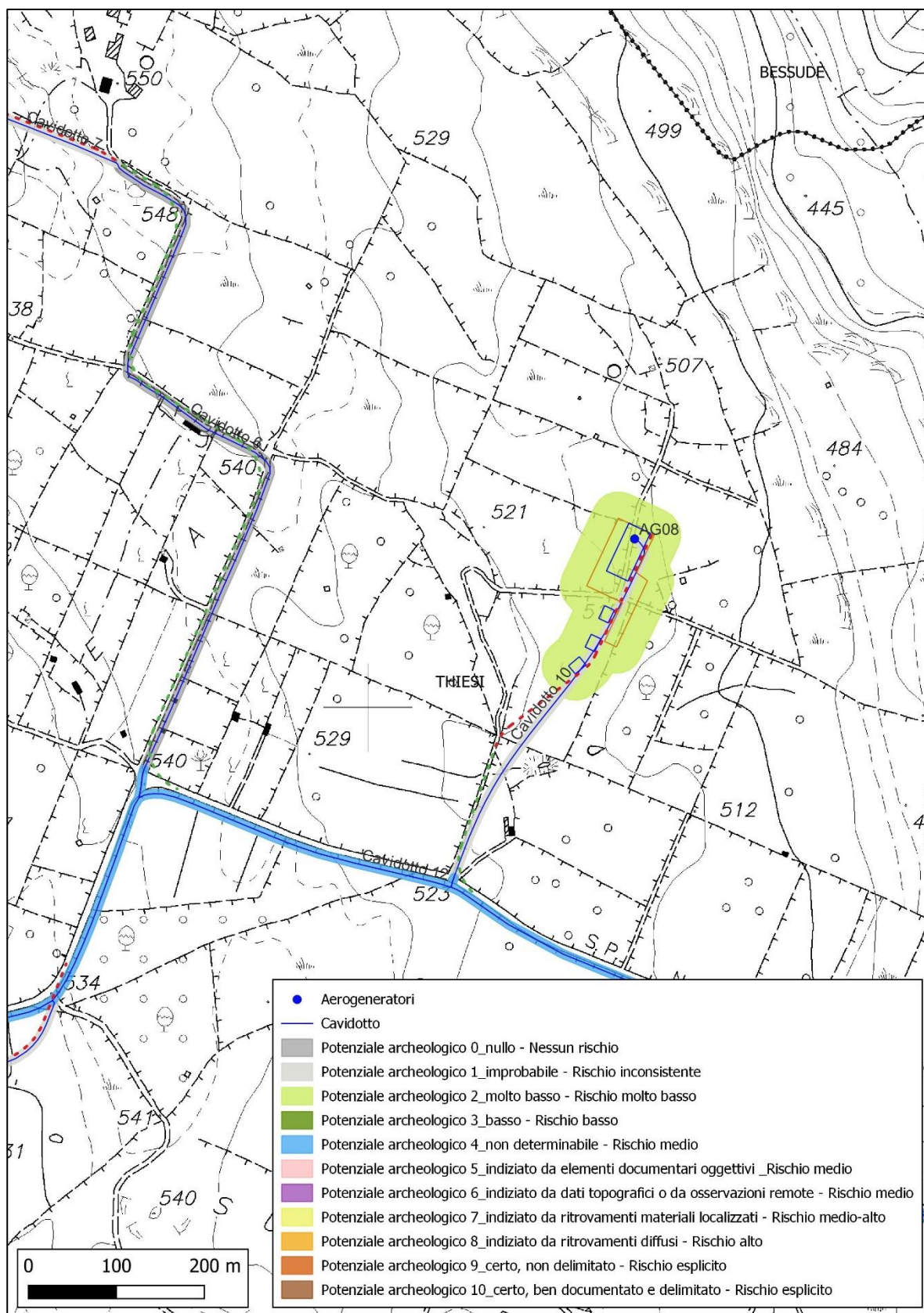


Figura 64. Area della turbina AG08, stralcio della Carta del potenziale archeologico.

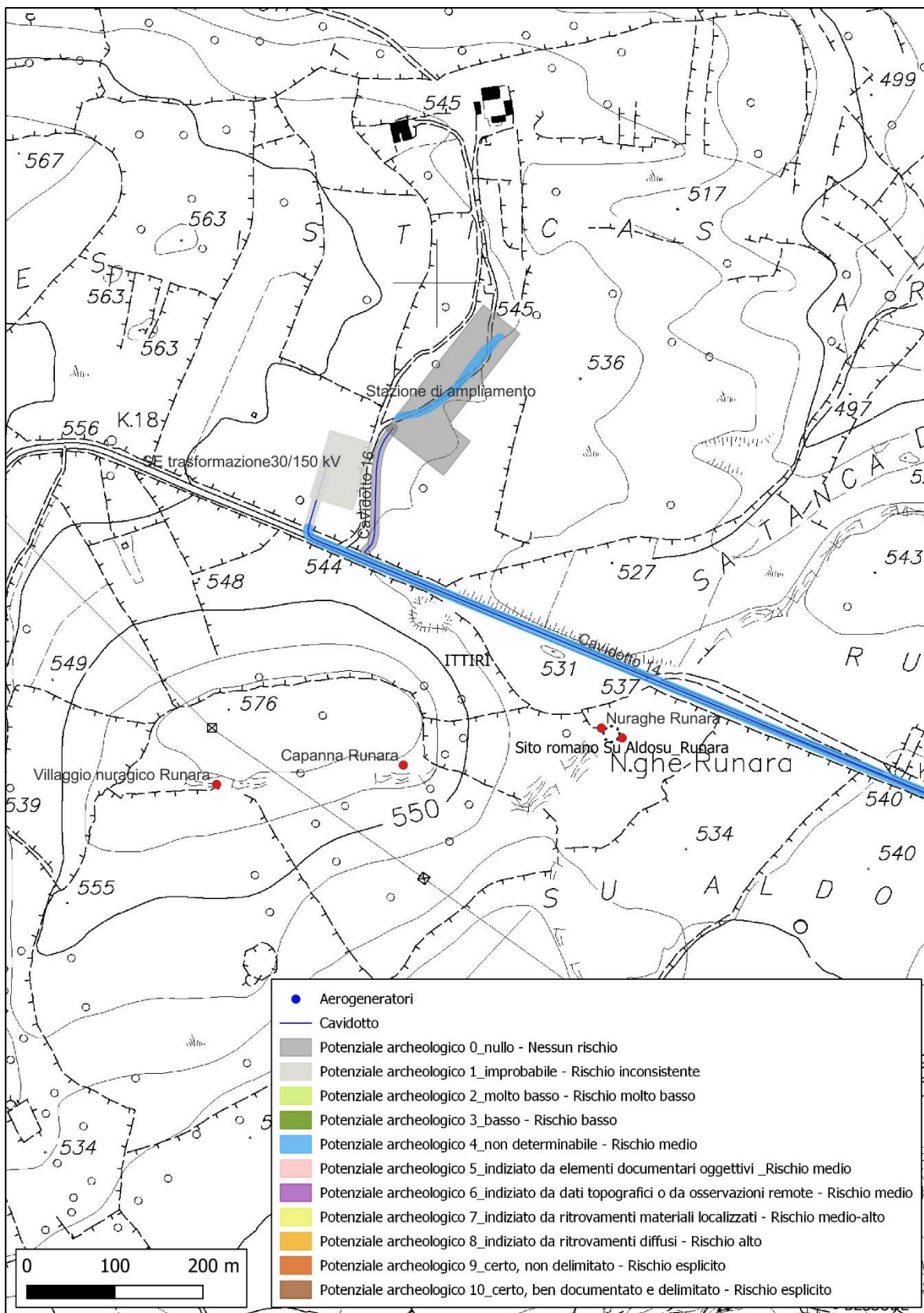


Figura 65. Area della SE Ittiri e della Stazione di ampliamento, stralcio della Carta del potenziale archeologico.